

Berner Fachhochschule
Fachbereich Wirtschaft

Bachelor Thesis

Automatische Analyse von Kamerabildern zur Prognose des Geburtszeitpunkts von Kälbern

Identifikation von merkmalsbezogenen
Schwellwerten und Anwendung erprobter
Softwarebibliotheken zwecks automatischer
Analyse von Bildern bei der Geburt von Kälbern

Dominique Müller

Studiengang Wirtschaftsinformatik
Matrikelnummer 17-263-625

Erstgutachter: Prof. Dr. Patrizio Collovà
Zweitgutachter: Dr. Klaus-Georg Deck

Bern, 12. Mai 2020

Management Summary

Inhaltsverzeichnis

Management Summary	ii
1 Ausgangslage	1
1.1 Beschreibung der Situation	1
1.2 Bedarf	3
1.3 Ziele	4
2 Methodisches Vorgehen	7
2.1 Lösungsansatz	8
2.2 Zielerreichung	8
3 Domänenanalyse	9
3.1 Literaturrecherche	9
3.1.1 Grundlegende Geburtsanzeichen	9
3.1.2 Zeitliche und prädiktive Hinweise zu den Geburtsanzeichen . .	10
3.1.3 Weiterführende Geburtsanzeichen	11
3.1.4 Ablauf einer normalen Geburt	12
3.2 Erkenntnisse aus den Interviews	15
3.2.1 Kernaussagen aus Interviews	16
3.2.2 Codierung von Domänenwissen aus Interviews	17
3.3 Bildmaterial aus ersten Tests	22
3.4 Domänenmodell	24
3.4.1 Legende zu den Diagrammen	24
3.4.2 Domänenmodell Geburt	25
3.4.3 Allgemeine Bibliothek an Value Objects	26
3.4.4 Bibliothek an Value Objects zur Konfiguration und zum Ver- sand von Nachrichten	27
4 Lösung	28
4.1 Codierung von Domänenwissen	28

4.2 Modellierung der Lösung	30
4.2.1 Klassendiagramm des Pakets Image-Analysis	31
4.2.2 Klassendiagramm der Pakete Message-Configuration und Message-Posting	32
4.2.3 Value-Object-Bibliothek	33
4.3 Überlegungen für den Betrieb	34
4.4 Umsetzung in Entwicklung	35
4.4.1 Detektierung von unwichtigen Bereichen im Bild	36
4.4.2 Detektierung von wichtigen Bereichen im Bild	48
4.4.3 Erkennung von seitlich liegender Kuh	53
5 Resultate	65
6 Ausblick	69
7 Selbstreflexion	70
Selbstständigkeitserklärung	71
Anhang	78
1 Glossar	78
2 Dokumentation zum entwickelten System	83
2.1 Computer für Entwicklung	83
2.2 Eingesetzte Software	83
2.3 Installation von OpenCV und vorausgesetzten Softwaremodulen	83
2.4 Nützliche Links	87
3 Mindmap als Entwurf für Modellierung der Domäne	88

1 Ausgangslage

1.1 Beschreibung der Situation

In den letzten Jahren ist die Landwirtschaft zunehmend unter Druck geraten. Der Primärsektor verliert an volkswirtschaftlicher Bedeutung ([Hofer 2010](#), S. 1 f.). Sowohl der Anteil an Beschäftigten als auch die landwirtschaftliche Nutzfläche sinkt ([Hofer 2010](#), S. 2) und Preise für Agrarprodukte sind stark unter Druck ([Hofer 2010](#), S. 11). Daraus entsteht ein tiefgreifender Strukturwandel ([Hofer 2010](#), S. 11 f.). Zahlreiche Landwirte gehen Nebentätigkeiten nach, um zusätzliches Einkommen zu generieren ([Hofer 2010](#), S. 6). Deshalb stellen sowohl die Maximierung des landwirtschaftlichen Einkommens als auch die Ermöglichung der Nutzung von Nebenerwerbsquellen besondere Herausforderungen in der Landwirtschaft dar ([Stefan et al. 2003](#), S. 8). Für selbstständige Landwirte ist es nicht einfach, einem Nebenerwerb nachzugehen.

Auch der Landwirt Peter Müller geht einer Nebenerwerbstätigkeit nach und will daher im landwirtschaftlichen Betrieb ¹ nach innovativen Lösungen suchen, welche der Doppelbelastung entgegenwirken ([Müller 2019](#)).

¹Standort des Betriebs: Schwellibach 50, CH-1714 Heitenried, Kanton Freiburg

1 Ausgangslage

Entwicklung der Anzahl Betriebe nach Größenklassen

Größenklasse	Anzahl	Anzahl	Anzahl	Veränderung pro Jahr	Veränderung
	Betriebe	Betriebe	Betriebe	in %	in %
	2000	2017	2018	2000 – 2018	2017 – 2018
0 – 3 ha	8 371	5 440	5 342	-2,5	-1,8
3 – 10 ha	18 542	9 511	9 271	-3,8	-2,5
10 – 20 ha	24 984	15 324	14 873	-2,8	-2,9
20 – 30 ha	11 674	10 725	10 576	-0,5	-1,4
30 – 50 ha	5 759	7 870	7 944	1,8	0,9
> 50 ha	1 207	2 750	2 846	4,9	3,5
Total	70 537	51 620	50 852	-1,8	-1,5

Abbildung 1: Entwicklung der Anzahl Haupt- und Nebenerwerbsbetriebe nach Regionen ([Agrarbericht.ch n.d.](#))

Um möglichst viel Milch zu produzieren, sorgen Landwirte dafür, dass jede Kuh auf dem Bauernhof einmal pro Jahr ein Kalb gebärt. Bei 15 Kühen auf dem Bauernhof des Arbeitgebers, bedeutet dies mehr als eine Geburt pro Monat ([Müller 2019](#)).

Jede Geburt, bei welcher der Landwirt abwesend ist, könnte für die Kuh und das Kalb ein lebensbedrohliches Risiko darstellen ([Müller 2019](#)).

Dieser Bezug zur Problemstellung hat der Autor im Rahmen der Case-Arbeit «Technologische Unterstützung von Landwirten bei der Geburt von Kälbern und bei der Heuernte» erarbeitet. Es wurde ein System entwickelt, welches in regelmässigen zeitlichen Abständen Kamerabilder aufnimmt und auf einer Website darstellt. Das System zeigt Kamerabilder in passender Qualität zwecks Beobachtung auf einer Website an. Ziele dieses Systems sind im Wesentlichen die Überwachung von der Geburt von Kälbern und die Überwachung der Heuernte einfacher und weniger aufwändig zu gestalten. Weiter soll dadurch das Risiko bei der Geburt von Kälbern und das Risiko von Schäden an der Infrastruktur zur Heuernte reduziert werden.

Sowohl Dr. med. vet. Samuel Kohler, Tierarzt und Studiengangsleiter Agronomie bei der BFH (HAFL), als auch der Auftraggeber, der Landwirt Peter Müller, sehen die Case-Arbeit als spannende Lösung mit Optimierungspotential. Zurzeit müssen die aufgenommenen Kamerabilder von Landwirten nach wie vor auf einer Website angezeigt und von Menschen interpretiert werden. Die computergetriebene, voll-

automatische Verarbeitung und Analyse von Kamerabildern stellt eine sinnvolle Weiterentwicklung zur Reduzierung des Überwachungsaufwands dar.

1.2 Bedarf

Dystokie ist die Todesursache von 50 bis 66% der Kalbsgeburten mit tödlichem Ausmass. Dies hat auch wirtschaftliche Konsequenzen in Form von Kosten für die Dienstleistungen des Tierarztes, nicht verkauften Kälbern, tieferer Milchproduktion oder vorzeitiger Schlachtung. Darüber hinaus ist Dystokie schmerzvoll und beeinträchtigt das Wohlergehen der Kühe (Saint-Dizier & Chistant-Maillard 2015, S. 349). Die Geburt ist ein kritisches Ereignis für Kuh und Kalb und oftmals Auslöser für nachfolgende Krankheiten. Optimales Management und Überwachung der Geburt wirken diesen Risiken entgegen und vermindern die Eintrittswahrscheinlichkeit von Dystokie und Totgeburt (Lange et al. 2017, S. 4847). Die Prognose des Geburtszeitpunkts unterstützt die Entscheidung, ob und wann menschliche Geburtshilfe angebracht ist. Die Unterstützung beim Abkalben bewirkt eine Verringerung der Kälbersterblichkeit und der Plazenta-Retention. Zusammenfassend ist die Vorhersage des Geburtszeitpunkts daher sowohl für die Wirtschaftlichkeit der Tierhaltung als auch für das Wohlergehen der Tiere von Bedeutung (Saint-Dizier & Chistant-Maillard 2015, S. 349).

Zum heutigen Zeitpunkt gibt es diverse Lösungsansätze zur Analyse des Geburtsverlaufs. Neigungs- und Beschleunigungssensoren sollen die Schwanzhebung und Verhaltensänderungen erkennen (Saint-Dizier & Chistant-Maillard 2015, S. 354). Zudem können spezialisierte Wiederkäuersensoren, welche beispielsweise von der Forschungsanstalt Agroscope entwickelt werden, das Wiederkäuerverhalten der Tiere analysieren (Pahl et al. 2014, S. 6936). Intelligente Bauchgürtel sind laut (Saint-Dizier & Chistant-Maillard 2015, S. 354) in der Lage, Abdominalkontraktionen zu detektieren. Intravaginale Sensoren erkennen einen Abfall der Körpertemperatur und die Ausstossung des Allantochorions. Zudem gibt es Vorrichtungen in der Vagina oder an den Schamlippen, welche die Ausstossung der Waden erkennen. Sämtliche Produkte funktionieren nach demselben Prinzip: Sobald ein Sensor das prädiktive Merkmal erkennt, wird dieses analysiert und eine Benachrichtigung an den Landwirten ausgelöst. So wird der Landwirt vor dem bevorstehenden Abkalben gewarnt. Die wissenschaftliche Basis der angebotenen Produkte ist jedoch oftmals mangelhaft. Diese Einschätzung von (Saint-Dizier & Chistant-Maillard 2015, S.

354) hat mehrere Ursachen. Einerseits berücksichtigen die Produkte oftmals nur eine geringe Anzahl von Parametern zur Analyse. Andererseits bringt zurzeit keines der getesteten Geräte, die Möglichkeit, die Notwendigkeit von menschlicher Geburtsunterstützung oder Dystokie zu erkennen. Außerdem wurden die meisten Studien bei der Rasse Holstein in Milchkuhhaltung durchgeführt. Sowohl in der Sammlung von Erfahrung bei anderen Rassen als auch anderer Haltung liegt grosses Verbesserungspotential. Dementsprechend ist die Einführung von technischen Systemen zur Sammlung von Daten bei einer grossen Anzahl von Tieren anstrebenswert. So können weitere Wissenquellen gewonnen werden, welche für die Entwicklung von erfolgreicher Produkten nützlich sind (**Saint-Dizier & Chistant-Maillard 2015**, S. 354). Die vorliegende Arbeit beinhaltet die Analyse von Kamerabildern während der Geburt von Kälbern der Rasse Swiss Fleckvieh. Dadurch kann die Arbeit einen Beitrag zum Gewinn von weiterer Erfahrung in dieser Domäne leisten.

In der Studie von (**Ouellet et al. 2016**, S. 1542) wurden 42 Kühe mit Sensoren ausgestattet, wobei acht davon die Sensoren verloren haben und durch technische Probleme mit dem Wiederkäuersensor bei zwei weiteren Kühen keine Daten zum Wiederkäuerverhalten gesammelt werden konnten. Der Einsatz von Kameras hingegen ermöglicht eine sichere Entfernung zwischen Kuh und technischer Einrichtung. Der Autor der vorliegenden Arbeit ist der Meinung, dass diese Entfernung die Ausfallsicherheit des Systems erhöhen kann. Um dies zu erreichen, werden Hinweise von Tierärzten als Unterstützung gesammelt.

1.3 Ziele

Wünschenswert ist nun, im Rahmen der Bachelor-Thesis ein System zu entwickeln, welches die automatische Analyse von Kamerabildern zur Prognose des Geburtszeitpunkts von Kälbern ermöglicht.

Der Aufwand für die Überwachung des Geburtsverlaufs ist auf ein Minimum reduziert, weil die Lösung vollständig digitalisiert ist.

Dieses System soll modular und erweiterbar sein und optimalerweise auch in der Lage sein, Landwirte und Tierärzte mittels direkter und gezielter Benachrichtigungen fast in Echtzeit über den Geburtsverlauf von Kälbern zu informieren. Grundlage für diese Benachrichtigung bildet die computergetriebene Analyse von Bildmaterial.

1 Ausgangslage

Im Rahmen der vorliegenden Bachelor-Thesis wird zwischen Projektzielen, betrieblichen und optionalem Zielen unterschieden.

Projektziele (Ziele zum Lieferergebnis)

ID	Beschreibung
A1	Das System liest Bilddateien von einem Dateisystem ein.
A2	Das System erkennt Bilder von der Geburt eines Kalbes und löst daraufhin eine vordefinierte Aktion aus. In einer ersten Phase handelt es sich um eine konfigurierbare Meldung in der Konsole der Entwicklungsumgebung. Weitere Aktionen sind in der Tabelle "Optionale Ziele" spezifiziert.
A3	Das System arbeitet auf Basis von Mustern und visuellen Merkmalen unter Berücksichtigung gegebener Schwellwerte.
A4	Das System arbeitet aus Entfernung zu Tieren, sodass das System von Tieren nicht zerstört werden kann.
A5	Das System ist durch fundiertes Software-Engineering so aufzubauen, dass eine beliebige technische Komponente ausgetauscht werden kann und die neue Implementierung für die restlichen Schichten keine Auswirkung hat.

Tabelle 1: Projektziele

Ziele im Betrieb

Die folgende Tabelle verdeutlicht die betrieblichen Ziele im Zusammenhang mit der Geburt von Kälbern.

ID	Beschreibung
B1	Das System reduziert den Aufwand für die Überwachung des Geburtsverlaufs mittels Kamerabildern.
B2	Das System stellt sowohl für Landwirte als auch Tierärzte ein digitales Werkzeug zur Entscheidungsunterstützung zur Verfügung.
B3	Das System senkt Geburtsrisiken für Kuh und Kalb. Dies erhöht die Wirtschaftlichkeit der Tierhaltung und das Wohlergehen der Tiere.
B4	Das System vereinfacht die Einleitung von gezielten Massnahmen zur Geburshilfe.

Tabelle 2: Betriebliche Ziele für die Überwachung bei der Geburt von Kälbern.

Optionale Ziele

Folgende Tabelle verdeutlicht die anstrebenswerten Ziele, welche einen zusätzlichen Mehrwert erschaffen sollen.

ID	Beschreibung
C1	Das System erkennt Bilder bei welchen in den nächsten 12 Stunden noch keine Geburt stattfindet und löst daraufhin eine vordefinierte, konfigurierbare Aktion aus. In einer ersten Phase handelt es sich um eine konfigurierbare Meldung, die in der Konsole der Entwicklungsumgebung ausgegeben wird.
C2	Das System ist in der Lage, Landwirte und Tierärzte mittels Benachrichtigungen als Textnachricht per a) SMS, b) Twitter, c) WhatsApp oder d) Mail über den Geburtsverlauf von Kälbern zu informieren.

Tabelle 3: Optionale Ziele für die Überwachung bei der Geburt von Kälbern.

2 Methodisches Vorgehen

Wie auch in der Case-Arbeit wird in der Anfangsphase der Bachelor-Thesis die Business Analyse eine Schlüsselrolle einnehmen. Für die Business Analyse stellen sowohl qualitative Interviews (per Videotelefonie durchgeführt) mit Fachleuten (Veterinäre, Landwirte) als auch Literaturrecherchen die wichtigsten Methoden dar. In diesem Rahmen sind die wesentlichen Merkmale eines Bildes zu identifizieren, welche für Prognose und computergetriebene Analyse des Geburtsverlaufs von Kälbern von Bedeutung sind. Weiterhin müssen im Rahmen dieser Analyse merkmalsbezogene Muster und Schwellwerte festgelegt werden, die auf eine Geburt eines Kalbes hinweisen. Diese bestimmen, ob und zu welchem Zeitpunkt Landwirte bzw. Tierärzte über den Geburtsverlauf eines Kalbs informiert werden sollen.

Zudem werden erworbene Kenntnisse aus der Vertiefungsrichtung Business Analyse angewendet. Die im Rahmen der Business Analyse gewonnenen Erkenntnisse werden mithilfe geeigneter Modelle veranschaulicht. Die Lieferobjekte sind durch die Vorgaben des Domain-Driven Designs bestimmt.

Auf Grundlage der Business Analyse ist ein System zu entwickeln, welches digitale Bilder von Kälbern verarbeitet, analysiert und von der Ausprägung von Merkmalen unter Berücksichtigung der gegebenen Schwellwerte ausgehend entsprechende automatische Benachrichtigungen auslöst.

Für die Entwicklung des Systems sind bewährte Methoden des Software Engineering anzuwenden. Die Software ist modellgetrieben zu entwickeln, die erstellten Modelle dienen als Dokumentation der Lösung.

Der Studierende erarbeitet die Lieferergebnisse unter Berücksichtigung der Rahmenbedingungen und trifft sich regelmässig mit dem Erstbetreuer, um einen Austausch zum Projektstand zu ermöglichen. Der Betreuer berät den Studierenden fachlich und methodisch.

2.1 Lösungsansatz

Um die definierten Ziele zu erreichen, arbeitet der Autor mit der Programmiersprache Python (Version 3) und benutzt für die Bildverarbeitung die Programmbibliothek OpenCV.

Diese Werkzeuge werden verwendet, um Bilder einzulesen, die identifizierten Muster zu erkennen und Merkmale auf die Erreichung der Schwellwerte zu überprüfen und anschliessend eine entsprechende, konfigurierbare Aktion auszuführen. Andere Komponenten können nach Bedarf hinzukommen.

Zusätzlich wird die Programmiersprache R (Version 3) für die Auswertung der Interviews genutzt.

2.2 Zielerreichung

Der gewählte Lösungsansatz ermöglicht eine (vollständige, teilweise) Zielerreichung, weil...

3 Domänenanalyse

3.1 Literaturrecherche

3.1.1 Grundlegende Geburtsanzeichen

Zahlreiche Anzeichen liefern Hinweise auf eine bevorstehende Geburt eines Kalbes. Diese Anzeichen umfassen sowohl bestimmte Positionen und Bewegungsabläufe der Kuh als auch klarer oder blutiger Scheidenausfluss (Lange et al. 2017, S. 4847).

Verdächtige Bewegungsabläufe als Anzeichen für eine bevorstehende Entbindung sind die wiederkehrende Schwanzhebung, häufiges Trippeln oder die Drehung des Kopfes zum Bauch hin (Lange et al. 2017, S. 4847). Auch wiederholtes Aufstehen und Abliegen ist ein Geburtsanzeichen (Saint-Dizier & Chistant-Maillard 2015, S. 352). Das seitliche Liegen mit Abdominalkontraktion stellt eine verdächtige Position dar (Lange et al. 2017, S. 4847).

Weitere Geburtsanzeichen können eingefallene Beckenbänder, ein Euterödem, glänzende Zitzen oder tropfende Milch sein. Auch eine rote Färbung der äusseren Geschlechtsorgane mit zäher Schleimspur liefert Hinweise auf eine Entbindung (Traulsen & Tischer 2013, S. 6). Zudem weisen Hyperplasie des Euters, Schamlippenödem und Schleimsekretion auf eine bevorstehende Geburt hin (Streyl et al. 2011, S. 178).



Abbildung 2: Schwanzhebung tritt vermehrt in den letzten 24 Stunden vor dem Kalben auf ([Lange et al. 2017](#), S. 4847 f.).

3.1.2 Zeitliche und prädiktive Hinweise zu den Geburtsanzeichen

Dabei ist zu beachten, dass einige Hinweise in erster Linie auf eine Entbindung innerhalb der nächsten vier Tage hinweisen (nachfolgend Vorkalbeperiode genannt), während andere Anzeichen auf eine Geburt innerhalb der nächsten 24 Stunden hinweisen. Ruhelosigkeit, wiederkehrende Schwanzhebung und die Drehung des Kopfes zum Bauch hin treten häufig 12 bis 6 Stunden vor der Geburt auf. Scheidenausfluss weist darauf hin, dass innerhalb der nächsten 6 Stunden die Geburt eintritt. ([Lange et al. 2017](#), S. 4847)

Bereits durchgeführte Experimente von ([Lange et al. 2017](#), S. 4847) anhand von stündlicher Observierung konnten das Kalben nur mit ungenügender Wahrscheinlichkeit vorhersagen (35.1 bis 72.7%). Demgegenüber konnte das Kalben für die nächsten 12 Stunden jedoch mit hoher Wahrscheinlichkeit ausgeschlossen werden (88.5 bis 97.1%). Mit der Information, dass eine Kuh in den nächsten 12 Stunden nicht kalben wird, können Zeit und Ressourcen in der Überwachung optimiert werden. Daher sollen in der vorliegenden Arbeit auch Merkmale erarbeitet werden, welche darauf hinweisen, dass keine Geburt stattfindet.

Die wichtigsten Parameter zur Prognose des Kalbens innerhalb der nächsten 12 Stunden sind Beckenbänder, Zitzenfüllung, Aufeutern und Scheiden- und Euterödeme. Diese Parameter erlauben eine genaue Vorhersage des Ausbleiben des Kalbens (Streyl et al. 2011, S. 180).

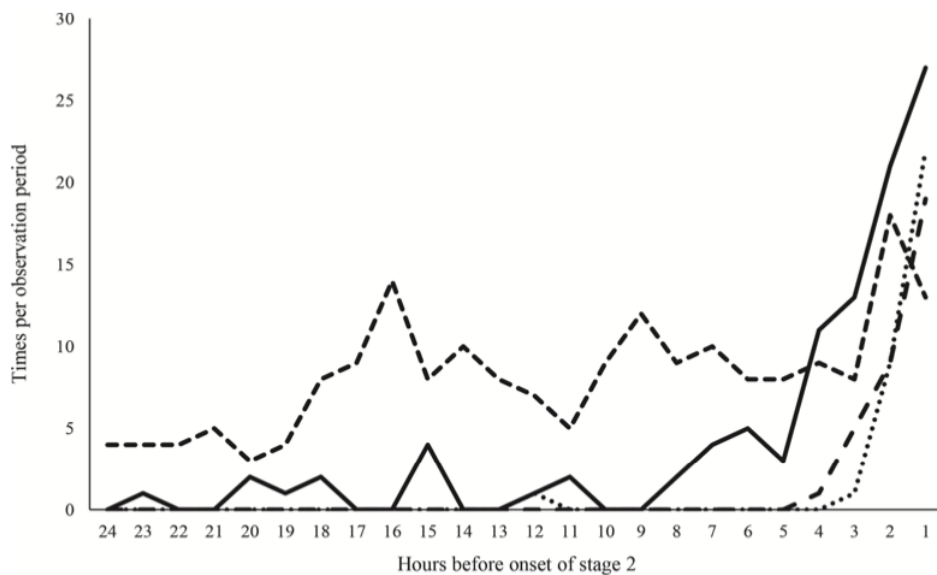


Abbildung 3: Häufigkeit von Geburtsanzeichen während den letzten 24 Stunden vor Geburtsstadium 2 nach Lange et al.: Schwanzhebung (durchgezogene Linie), deutlicher Scheidenausfluss (kurze gestrichelte Linie), blutiger Scheidenausfluss (lange gestrichelte Linie) und seitliches Liegen mit Abdominalkontraktion (gepunktete Linie) (Lange et al. 2017, S. 4851).

3.1.3 Weiterführende Geburtsanzeichen

Die Geburt eines Kalbs wird durch die Hypothalamus-Hypophysen-Nebennierenrinden-Achse des Fötus gesteuert. 72 Stunden vor der Geburt des Kalbs können diverse hormonelle Veränderungen beobachtet werden. Beispielsweise nimmt die fetale Produktion von Kortisol ungefähr zehn Tage vor der Geburt stark zu, was wiederum das Progesteron-Östradiol-Verhältnis im mütterlichen Blut beeinflusst. Auch Informationen zur Veränderung der Temperatur der äusseren Geschlechtsorgane und zum Wiederkauverhalten können für sensorbasierte Systeme einen deutlichen Mehrwert in Bezug auf die prädiktive Analyse schaffen. Außerdem versuchen Kühe am Tag der Geburt vermehrt, sich von der Herde zu isolieren (Saint-Dizier &

Chastant-Maillard 2015, S. 349-352). Da die vorliegende Arbeit aber auf die Analyse von Bildern fokussiert, werden diese sozialen Merkmale in der nachfolgenden Arbeit nicht mehr thematisiert.

3.1.4 Ablauf einer normalen Geburt

Normalerweise befinden sich Kälber in der Vorderendlage. Das heisst, dass zuerst die Vorderbeine und der Kopf durch die Scham gepresst werden (Müller 2020c). Eine mögliche Fehlhaltung ist die Hinterendlage. Dabei wird das Kalb mit den Hinterbeinen voran abgekalbert. Weiter stellen gebeugte Gliedmassen, eine Kopfseitenhaltung oder eine Rückenquerlage Risiken für eine Geburt dar (Traulsen & Tischer 2013, S. 17, 24-26).



Abbildung 4: Veranschaulichung zur Vorderendlage eines Kalbes (Traulsen & Tischer 2013, S. 17).

Eine Geburt kann in fünf Phasen eingeteilt werden. Die Vorbereitungsphase, die Öffnungsphase, die Aufweitungsphase, die Austreibungsphase und die Nachgeburtphasen (Traulsen & Tischer 2013, S. 6-8).

In der Vorbereitungsphase stellt sich die Kuh auf die bevorstehende Geburt ein. Deshalb treten die obengenannten Geburtsanzeichen auf (beispielsweise eingefallene

Beckenbänder oder rote Färbung der äusseren Geschlechtsorgane) (**Traulsen & Tischer 2013, S. 6**).

Die Öffnungsphase erstreckt sich über 6 bis 16 Stunden. Der innere Muttermund öffnet sich und die Fruchtblasen treten in den Gebärmutterhals ein, damit dieser gedehnt wird. Es treten erste, leichte Wehen auf und die Kuh kann unruhig sein (**Traulsen & Tischer 2013, S. 7**).



Abbildung 5: Die Fruchtblasen (Wasser- und Schleimblase) weiten bei der Öffnungsphase den Geburtsweg (**Traulsen & Tischer 2013, S. 7**).

Die Zeit vom Blasensprung bis zum Durchtreten des Kopfes wird als Aufweitungsphase bezeichnet und dauert 1 bis 6 Stunden (**Traulsen & Tischer 2013, S. 7**).



Abbildung 6: Die Aufweitungsphase dauert bei Kühen im Normalfall 1 bis 3 Stunden. Bei Färsern kann dies bis zu 3 Stunden länger dauern. (Traulsen & Tischer 2013, S. 7).

Im Rahmen der Austreibungsphase sollte das Kalb in nur 5 bis 15 Minuten nach dem Durchtritt des Kopfes durch die Scham geboren sein (Traulsen & Tischer 2013, S. 8).



Abbildung 7: In der Austreibungsphase wird das Kalb zur Welt gebracht (Traulsen & Tischer 2013, S. 8).

Die Nachgeburtphase dauert 6 bis 12 Stunden und dabei verliert die Kuh das restliche Fruchtwasser und die Nachgeburt (Traulsen & Tischer 2013, S. 8).

3.2 Erkenntnisse aus den Interviews

Ziel der Interviews ist einerseits, die Erkenntnisse aus der Literaturrecherche zu validieren und zu ergänzen. Andererseits sollen die Interviews auch Klarheit darüber bringen, wie stark die Anwesenheit oder Abwesenheit von bestimmten Eigenschaften als Hinweis für eine bevorstehende Entbindung gedeutet werden sollen.

Jedes Merkmal wird bewertet, um zu beschreiben, wie stark dessen Anwesenheit oder Abwesenheit als Indikator einer bevorstehenden Geburt dient.

3.2.1 Kernaussagen aus Interviews

Gemäss Interview mit Dr. med. vet. Samuel Kohler ([Kohler 2020](#)) sind viele der Merkmale, die für Geburtsprognosen untersucht werden, eine direkte Folge von erhöhtem Östrogenspiegel. Dies bestätigt, dass die in der Literaturrecherche identifizierten Merkmale wie beispielsweise Scheidenausfluss von einem Computer als Geburtsanzeichen gedeutet werden dürfen. Die alleinige Anwesenheit eines Merkmals reicht jedoch bis auf wenige Ausnahmen nicht aus, um eine Geburt mit hoher Wahrscheinlichkeit zu prognostizieren. Zudem ist es laut Dr. med. vet. Samuel Kohler nicht möglich, aufgrund einer wissenschaftlichen Grundlage Kombinationen von Merkmalen mit entsprechenden Schwellwerten zu nennen, welche mit ausreichender Wahrscheinlichkeit auf eine Geburt hinweisen und dementsprechend eine Benachrichtigung auslösen müssen.

Eine Geburt ist physiologisch betrachtet auch ohne viele der Merkmale wie rötliche Färbung der äusseren Geschlechtsorgane und auch ohne Scheidenausfluss möglich. Demzufolge kann die Abwesenheit der meisten Merkmale nicht verwendet werden, um eine anstehende Geburt in den nächsten Stunden mit Sicherheit auszuschliessen ([Kohler 2020](#)).

Besonders wichtig für die vorliegende Arbeit sind jedoch die prädiktiven Merkmale, die immer eine Benachrichtigung auslösen müssen. Einerseits ist dies die Seitenlage mit gestreckten Beinen und andererseits die Anwesenheit der Wasser- oder Schleimblase. Dabei ist die Unterscheidung zwischen Wasserblase und Schleimblase nicht von Bedeutung. Unabhängig davon, welche Blase sichtbar ist, muss das System eine Benachrichtigung auslösen ([Kohler 2020](#)).

Die Erkenntnisse aus dem Interview mit Dr. med. vet. Gaby Hirsbrunner ([Hirsbrunner 2020](#)) stützen die Kernaussagen aus dem Interview mit Dr. med. vet. Samuel Kohler und das gewonnene Wissen aus der Literaturrecherche. Seitenlage und Sichtbarkeit der Wasser- oder Schleimblase gehören erneut zu den wichtigsten Geburtsanzeichen, die auf Bildern erfasst werden können. Dies bestätigt die Meinung, dass jedes dieser Merkmale auch ohne die Anwesenheit von weiteren Geburtsanzeichen eine Benachrichtigung an den Landwirten auslösen soll. Zudem bestätigt Dr. med. vet. Gaby Hirsbrunner die Meinung, dass die Abwesenheit der meisten Merkmale nicht in die Geburtsprognose einfließen sollte.

Die Aussagen von Dr. med. vet. Gaby Hirsbrunner verfeinern das Domänenwissen, indem die Seitenlage für Anbdindehaltung und Freilauf separat bewertet wird.

Gemäss (Hirsbrunner 2020) ist bei Anbindehaltung seitliches Liegen fast nur bei einer anstehenden Geburt zu beobachten (*Bewertung = 9*). Bei der Haltung in Freilauf kann dies durchaus häufiger geschehen und ist dementsprechend auch ein schwächerer Indikator für eine anstehende Geburt (*Bewertung = 4*).

Zudem sind weitere Erkenntnisse zur Erkennung von erschwerter Geburt für die vorliegende Arbeit besonders wertvoll. Blutiger Scheidenausfluss soll unbedingt als alarmierendes Zeichen interpretiert werden. Auch häufiges Trippeln kann als Symptom einer Verdrehung der Gebärmutter (Überwurf) auftreten. Sowohl blutiger Scheidenausfluss als auch häufiges Trippeln müssen daher eine Benachrichtigung auslösen (Hirsbrunner 2020).

Das beschriebene System muss für einen zweckmässigen Einsatz in der Landwirtschaft und im Veterinärwesen zuverlässig, kostengünstig und einfach in der Handhabung sein. (Hirsbrunner 2020). Um möglichst viele Merkmale zu erfassen, soll eine gut platzierte Kamera im Stall hinter der Kuh platziert sein (Hirsbrunner 2020), (Kohler 2020) und einen möglichst breiten Blickwinkel abdecken, damit die Kuh nicht aus dem Sichtfeld verschwindet Müller (2020c). Da laut der Meinung der Experten die Festlegung von Schwellwerten und Dimensionen nicht möglich ist (Hirsbrunner 2020), (Kohler 2020), konzentrieren sich die Benachrichtigungen des Systems in erster Linie auf den Namen des auftretenden Merkmals.

3.2.2 Codierung von Domänenwissen aus Interviews

In Tabelle 4 wird Domänenwissen von Prof. Dr. med. vet. Samuel Kohler und Dr. med. vet. Gaby Hirsbrunner codiert. Dieses Wissen basiert auf der Erhebung mittels Durchführung von Interviews per Videotelefonie. Beide Interviewten haben die Anwesenheit und Abwesenheit von Merkmalen in Bezug auf die Stärke des Hinweises auf eine bevorstehende Geburt bewertet

Die Tabelle 4 besteht nebst der Aufzählung von Merkmalen aus den drei Spaltengruppen «Anwesenheit», «Abwesenheit» und «Mittelwert» (horizontale Beschriftung). Die Gruppen Anwesenheit und Abwesenheit repräsentieren dabei die Rohdaten, welche auf der Durchführung von Interviews basieren. Die Spalten der Gruppe Mittelwert entsprechen jeweils dem gewichteten Mittelwert der Rohdaten aus den vorgelagerten Spaltengruppen.

3 Domänenanalyse

Für die gesammelten Daten zur An- und Abwesenheit von Merkmalen existieren je vier Spalten. Eine Spalte repräsentiert jeweils die Bewertungen des Interviewten und eine weitere Spalte entspricht der Gewichtung dieser Bewertung. In Klammer sind die Initialen des Interviewten angegeben, also S.K. für Prof. Dr. med. vet. Samuel Kohler und G.H. für Dr. med. vet. Gaby Hirsbrunner.

Während der Durchführung der Interviews hatten die Interviewten die Möglichkeit, weitere Geburtsmerkmale hinzuzufügen und zu bewerten. Deshalb haben nicht beide Veterinäre sämtliche Merkmale bewertet. Falls ein Interviewter die Anwesenheit oder Abwesenheit eines Merkmals nicht bewertet hat, wird dies mit *Bewertung* = 99 codiert. Diese Bewertung wird dementsprechend nicht gewichtet, also entspricht die *Gewichtung* = 0.

Der gewichtete Mittelwert der Bewertung von An- und Abwesenheit dieser Merkmale dient als integraler Bestandteil des zu entwickelnden Systems. Dieses muss das gewonnene Domänenwissen einsetzen, um Kamerabilder mit Abkalbung von Kamerabildern ohne Abkalbung zu unterscheiden.

Merkmal	Anwesenheit				Abwesenheit				Mittelwert	
	Bewertung (S.K.)	Gewichtung (S.K.)	Bewertung (G.H.)	Gewichtung (G.H.)	Bewertung (S.K.)	Gewichtung (S.K.)	Bewertung (G.H.)	Gewichtung (G.H.)	Anwesenheit	Abwesenheit
Wiederkehrende Schwanzhebung	3	1	6	1	-2	1	0	1	4.5	-1.0
Wiederholtes Aufstehen und Abliegen	9	1	6	1	-2	1	0	1	7.5	-1.0
Häufiges hin-und-her-Treten (Trippeln)	7	1	2	1	-2	1	0	1	4.5	-1.0
Drehung des Kopfes zum Bauch hin	8	1	8	1	-7	1	0	1	8.0	-3.5
Rote Färbung der äusseren Geschlechtsorgane	4	1	0	1	-2	1	0	1	2.0	-1.0
Blutiger Scheidenausfluss	3	1	1	1	-2	1	0	1	2.0	-1.0
Klarer Scheidenausfluss	3	1	1	1	-2	1	0	1	2.0	-1.0
Eingefallene Beckenbänder	9	1	10	1	-8	1	-7	1	9.5	-7.5
Euterödem	2	1	7	1	-1	1	-9	1	4.5	-5.0
Glänzende Zitzen	4	1	8	1	-2	1	-9	1	6.0	-5.5
Tropfende Milch	6	1	2	1	-2	1	0	1	4.0	-1.0
Hyperplasie des Euters	1	1	6	1	-1	1	0	1	3.5	-0.5
Schleimsekretion	8	1	6	1	-2	1	0	1	7.0	-1.0
Schamlippenödem	6	1	7	1	-8	1	0	1	6.5	-4.0
Seitliches Liegen	8	1	99	0	99	0	0	1	8.0	0.0
Seitliches Liegen bei Anbindehaltung (nur G.H.)	99	0	9	1	99	0	99	0	9.0	0.0
Seitliches Liegen bei Freilauf (nur G.H.)	99	0	4	1	99	0	99	0	4.0	0.0
Seitliches Liegen mit Abdominalkontraktion	10	1	10	1	-7	1	0	1	10.0	-3.5
Wasser- und Schleimblase	99	0	10	1	99	0	0	1	10.0	0.0

Tabelle 4: Bewertung der Anwesenheit und Abwesenheit von Merkmalen als Indikator einer bevorstehenden Geburt.

Merkmal	Häufigkeit	Vorbereitungsphase (4 Tage)			
		Vorbereitungsphase (24h)	Öffnungsphase	Aufweitungsphase	Austreibungsphase
Wiederkehrende Schwanzhebung	häufig	x	x		
Wiederholtes Aufstehen und Abliegen	häufig		x		
Häufiges hin-und-her-Treten (Trippeln)	häufig		x		
Drehung des Kopfes zum Bauch hin	immer	x	x		
Rote Färbung der äusseren Geschlechtsorgane	häufig		x	x	
Blutiger Scheidenausfluss	häufig		x	x	
Klarer Scheidenausfluss	häufig		x	x	
Eingefallene Beckenbänder	immer	x	x		
Euterödem	häufig	x	x		
Glänzende Zitzen	häufig	x	x		
Tropfende Milch	selten-häufig	x	x		
Hyperplasie des Euters	immer	x			
Schleimsekretion	häufig		x	x	
Schamlippenödem	immer	x	x		
Seitliches Liegen mit Abdominalkontraktion	immer		x	x	x

Tabelle 5: Zuordnung von Merkmalen zu Geburtsphasen und Bewertung der Häufigkeiten von Merkmalen (Samuel Kohler)

Merkmal	Häufigkeit	Vorbereitungsphase (4 Tage)		Vorbereitungsphase (24h)		Eröffnungsphase	Austreibungsphase	Nachgeburtspause
		x	x	x	x			
Wiederkehrende Schwanzhebung	häufig		x	x	x			
Wiederholtes Aufstehen und Abliegen	häufig			x	x			
Häufiges hin-und-her-Treten (Trippeln)	selten	x	x					
Drehung des Kopfes zum Bauch hin	häufig					x		
Rote Färbung der äusseren Geschlechtsorgane	nicht zutreffend							
Blutiger Scheidenausfluss	nicht zutreffend							
Klarer Scheidenausfluss	immer	x						
Eingefallene Beckenbänder	immer		x	x				
Euterödem	selten	x	x					
Glänzende Zitzen	häufig		x	x				
Tropfende Milch	häufig		x	x	x			
Hyperplasie des Euters	immer	x	x					
Schleimsekretion	immer	x						
Schamlippenödem	häufig	x	x					
Seitliches Liegen ohne Abdominalkontraktion	häufig					x		
Seitliches Liegen mit Abdominalkontraktion	immer						x	
Wasserblase	immer			x				
Schleimblase	immer				x			

Tabelle 6: Zuordnung von Merkmalen zu Geburtsphasen und Bewertung der Häufigkeiten von Merkmalen (Gaby Hirsbrunner)

3.3 Bildmaterial aus ersten Tests

In der Nacht vom 31. März 2020 auf den 1. April 2020 ist auf dem Betrieb vom Auftraggeber Peter Müller ein Kalb geboren. Das Bildmaterial zur Geburt zeigt einige Geburtsanzeichen, welche Merkmale aus der Literaturrecherche und aus Interviews beispielhaft veranschaulichen. Zudem ist auf den Bildern gemäss Aussage von ([Müller 2020b](#)) klar erkennbar, wie die Klauen des Kalbes aus der Kuh austreten. Diese Erkenntnis ergänzt das Wissen aus der der bisherigen Domänenanalyse. Folgend die wichtigsten Ergebnisse von der Klassifikation der Kamerabilder.



Abbildung 8: Austritt der Klauen des Kalbes ([Müller 2020b](#))



Abbildung 9: Seitliches Liegen kurz vor der Geburt des Kalbes



Abbildung 10: Kamerabild der Schwanzhebung



Abbildung 11: Schleim im Schambereich der Kuh kurz vor der Geburt



Abbildung 12: Die Nachgeburt wird ausgelöst.

3.4 Domänenmodell

3.4.1 Legende zu den Diagrammen

Farbe	Beschreibung
Grün	Natürliche Gegenstände im Domänenmodell und Value Objects in der Bibliothek, welche diese natürlichen Gegenstände beschreiben.
Lila	Ressourcen und Faktoren, welche es zu optimieren gilt und Value Objects in der Bibliothek, welche diese zu optimierenden Gegenstände beschreiben.
Blau	Objekte oder Resultate der Domäne Image-Analysis. Zudem Value Objects in der Bibliothek, welche die Gegenstände dieser Domäne beschreiben.
Braun	Tatsächlicher Kern der Domäne Image-Analysis. Dieser Kern implementiert das wichtigste Domänenwissen und zentrale Funktionen.
Violett	Objekte, die zum Versenden von Benachrichtigungen benötigt werden und Value Objects in der Bibliothek, welche die Gegenstände dieser Domäne beschreiben.
Grau	Paket für die Konfiguration der Benachrichtigungen und Value Objects in der Bibliothek, welche die Gegenstände dieser Domäne beschreiben.
Gelb	Value Objects, welche direkt im Domänenmodell oder in der Lösungsdokumentation eingebettet sind. Zudem Value Objects die nicht kategorisiert werden können, da diese in mehreren Paketen eingesetzt werden.
Orange	Paket Housekeeping und Klassen vom Paket ImageAnalysis, welche dem Housekeeping dienen.

Tabelle 7: Legende fürs Domänenmodell und für die UML-Diagramme als Lösungsdokumentation

3.4.2 Domänenmodell Geburt

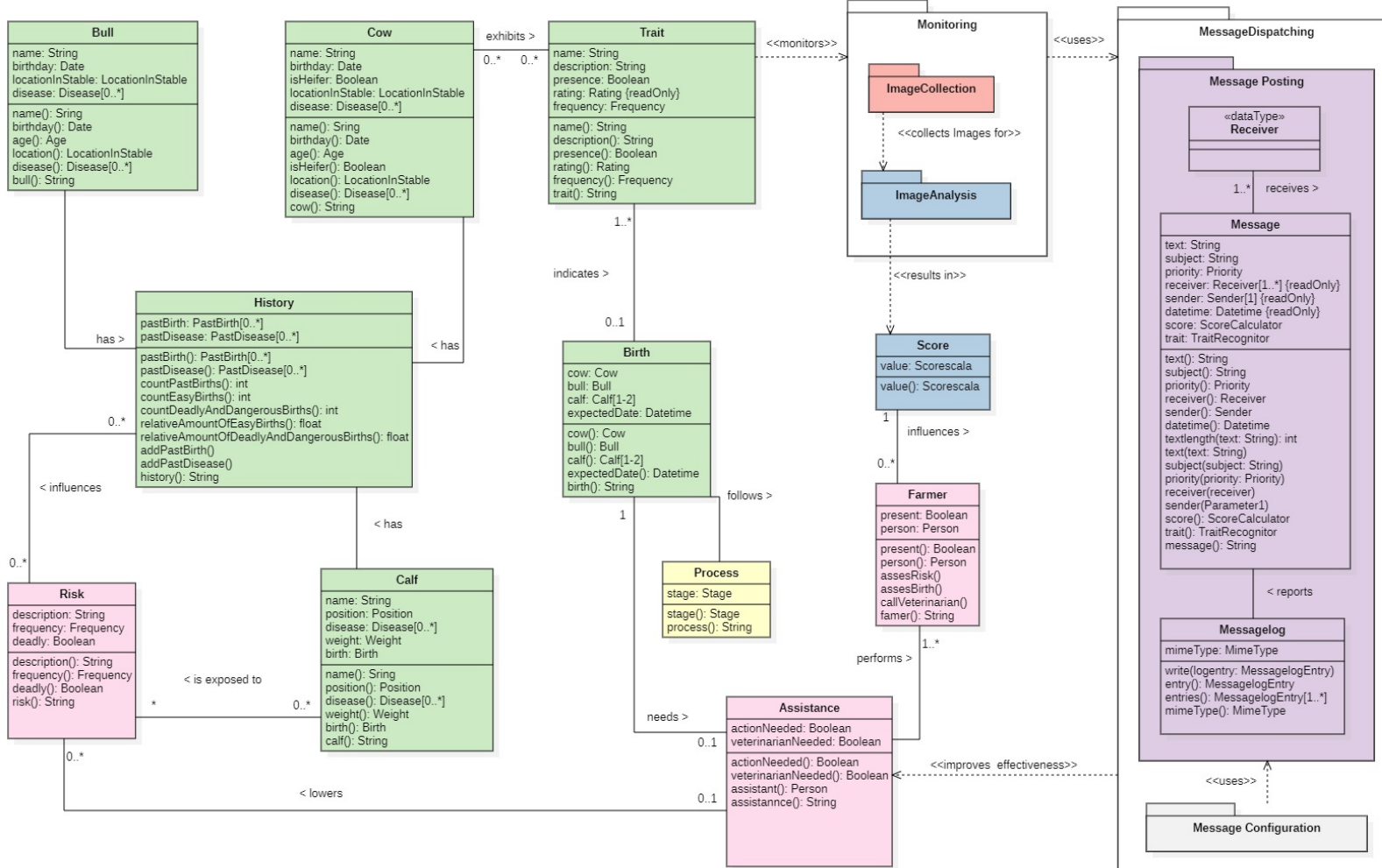


Abbildung 13: Domänenmodell Kalbsgeburts

3.4.3 Allgemeine Bibliothek an Value Objects

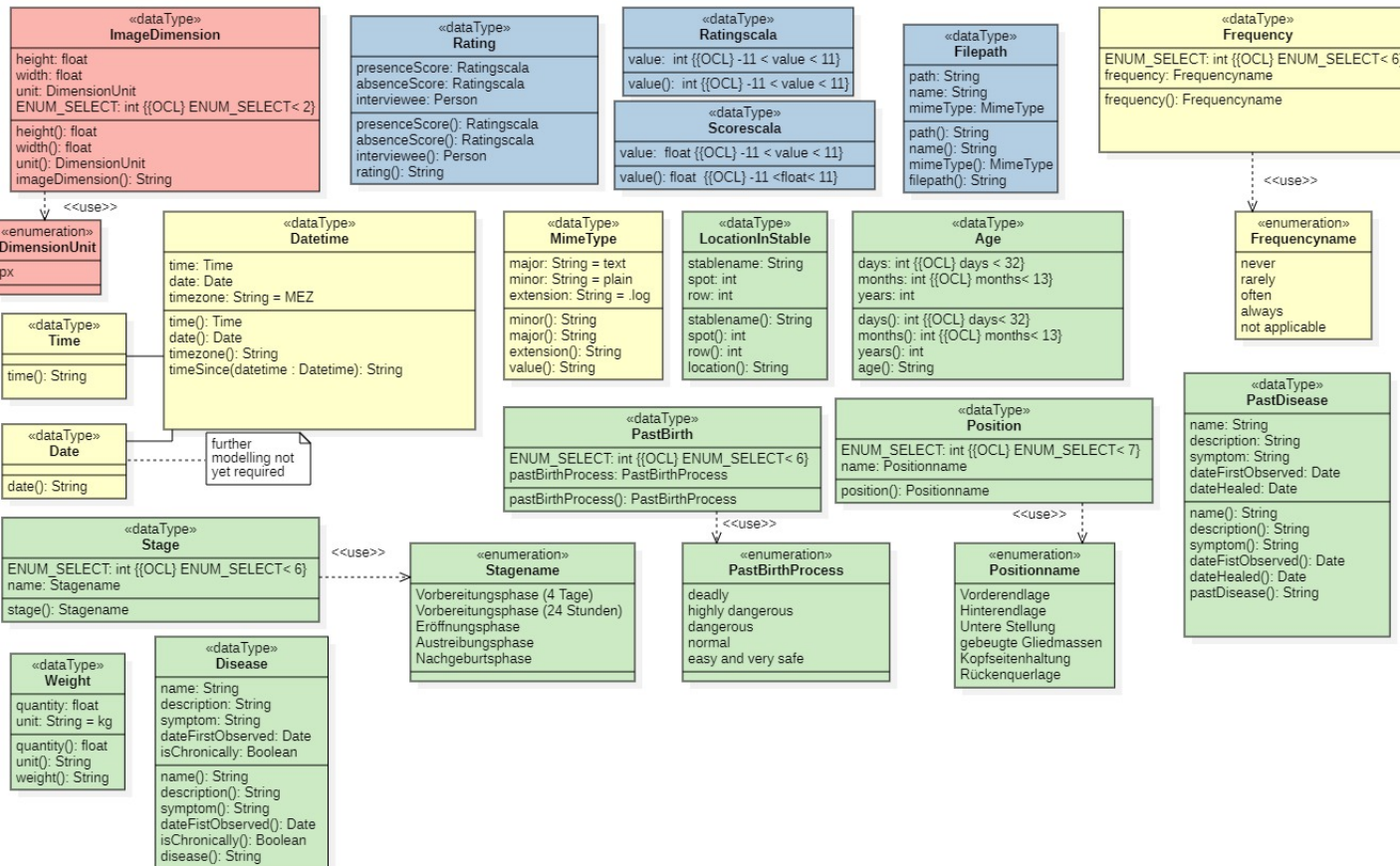


Abbildung 14: Allgemeine Bibliothek an Value Objects

3.4.4 Bibliothek an Value Objects zur Konfiguration und zum Versand von Nachrichten

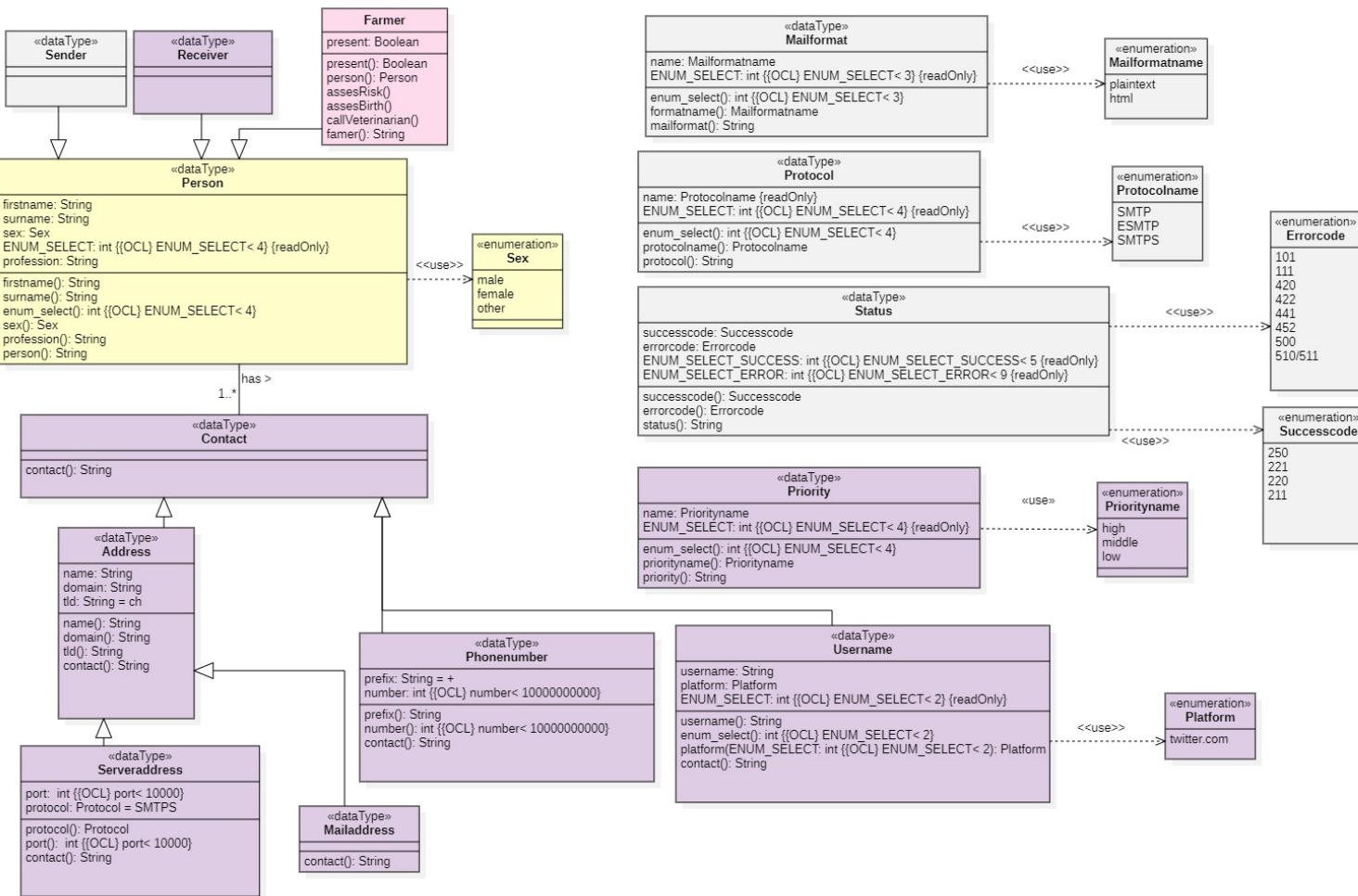


Abbildung 15: Bibliothek an Value Objects bezüglich Konfiguration und Versand von Nachrichten

4 Lösung

4.1 Codierung von Domänenwissen

Tabelle xx («VERWEIS AUF TABELLE EINFÜGEN») codiert Domänenwissen von Tierärzten, welches für die Geburtsprognose von Bedeutung ist. Expertenwissen ist so codiert, dass jedes Geburtsmerkmal mit einer Gewichtung versehen ist. Somit hat das Merkmal an Stelle i die Gewichtung λ_i .

Wie in Formel 1 formalisiert, werden bei Erkennung eines oder mehrerer Merkmale in einem Bild, die Gewichtungen dieser Merkmale addiert. Merkmale, welche als Geburtsanzeichen dienen, haben eine positive Gewichtung und erhöhen dadurch das Endergebnis. Merkmale, welche darauf hinweisen, dass zurzeit keine Entbindung stattfindet, haben eine negative Gewichtung und senken das Endergebnis.

Das Resultat dieser Berechnung bezeichnet der Autor als «qualitative Situationsbewertung». Diese wird mit einem Schwellwert verglichen, um zu entscheiden, ob eine Benachrichtigung verschickt wird.

Dabei kann die qualitative Situationsbewertung anhand der folgenden Linearkombination ermittelt werden:

$$v = h(x) = \sum_{i=1}^n \lambda_i * x_i \quad (1)$$

Wobei λ_i sich aus der fachlichen Gewichtung κ_i und der technischen Qualitätsbeurteilung β_i zusammensetzt. Die Skala zur Bewertung reicht von -10 bis 10, daher ergibt sich $\lambda = \kappa = \beta = \{ m \mid m \in \mathbb{Z}, -10 \leq m \leq 10 \}$.

Die fachliche Gewichtung eines Merkmals entspricht der Bewertung der Stärke des Hinweises in Bezug auf eine bevorstehende Geburt. Dementsprechend codiert κ Domänenwissen von Tierärzten zur merkmalsbezogene Einschätzung und Prognose des Geburtsverlaufs.

Die technische Qualitätsbeurteilung basiert auf der Güte der technischen Mittel zwecks Analyse der An- oder Abwesenheit eines Merkmals in einem Bild. Dementsprechend wird β benötigt, weil nicht sämtliche Merkmale mit derselben Qualität auf deren An- oder Abwesenheit überprüft werden können.

Zwischen den beiden Gewichtungen κ und β existiert eine schwache Beziehung. Dies wird dadurch begründet, dass technische Zuverlässigkeit die Anwesenheit eines Merkmals nicht überbewertet soll. Beispielsweise soll eine besonders hohe technische Qualitätsbeurteilung und eine tiefe fachliche Gewichtung nicht in einer hohen Gewichtung resultieren. Um diese zwei Gewichtungen schwach miteinander in Beziehung zu setzen, werden diese addiert und nicht multipliziert. Es gilt also:

$$\lambda_i = \kappa_i + \beta_i$$

Zudem codiert x_i die Anwesenheit ($x_i = 1$) oder die Abwesenheit ($x_i = 0$) eines spezifischen Merkmals auf einem Bild. Es gilt dementsprechend $x_i \in \{0, 1\}$.

Setzen wir diese Erkenntnisse zusammen, so ergibt sich

$$v = h(x) = \sum_{i=1}^n (\kappa_i + \beta_i) * x_i \quad (2)$$

wobei: $x \in \{0, 1\}$ und $\kappa = \beta = \{m \mid m \in \mathbb{Z}, -10 \leq m \leq 10\}$.

Das Ergebnis dieser Rechenoperation ergibt wie bereits erwähnt die qualitative Situationsbewertung v , welche mit einem Schwellwert verglichen wird. Dies wird formal wie folgt ausgedrückt:

$$y = g(v) = \begin{cases} 1, & \text{wenn } v > q \\ 0, & \text{wenn } v \leq q \end{cases} \quad (3)$$

Dabei steht q für den Schwellwert, welcher in der Domänenanalyse ermittelt wird. Das Ergebnis $y = 1$ bedeutet, dass eine Benachrichtigung ausgelöst wird, während bei $y = 0$ keine Benachrichtigung ausgelöst wird.

4.2 Modellierung der Lösung

Für die Dokumentation der Lösung verwendet der Autor die UML-Notation. Zwei Kassendiagramme beschreiben das System aus jeweils unterschiedlichen Perspektiven [Rupp et al. \(2012\)](#).

4.2.1 Klassendiagramm des Pakets Image-Analysis

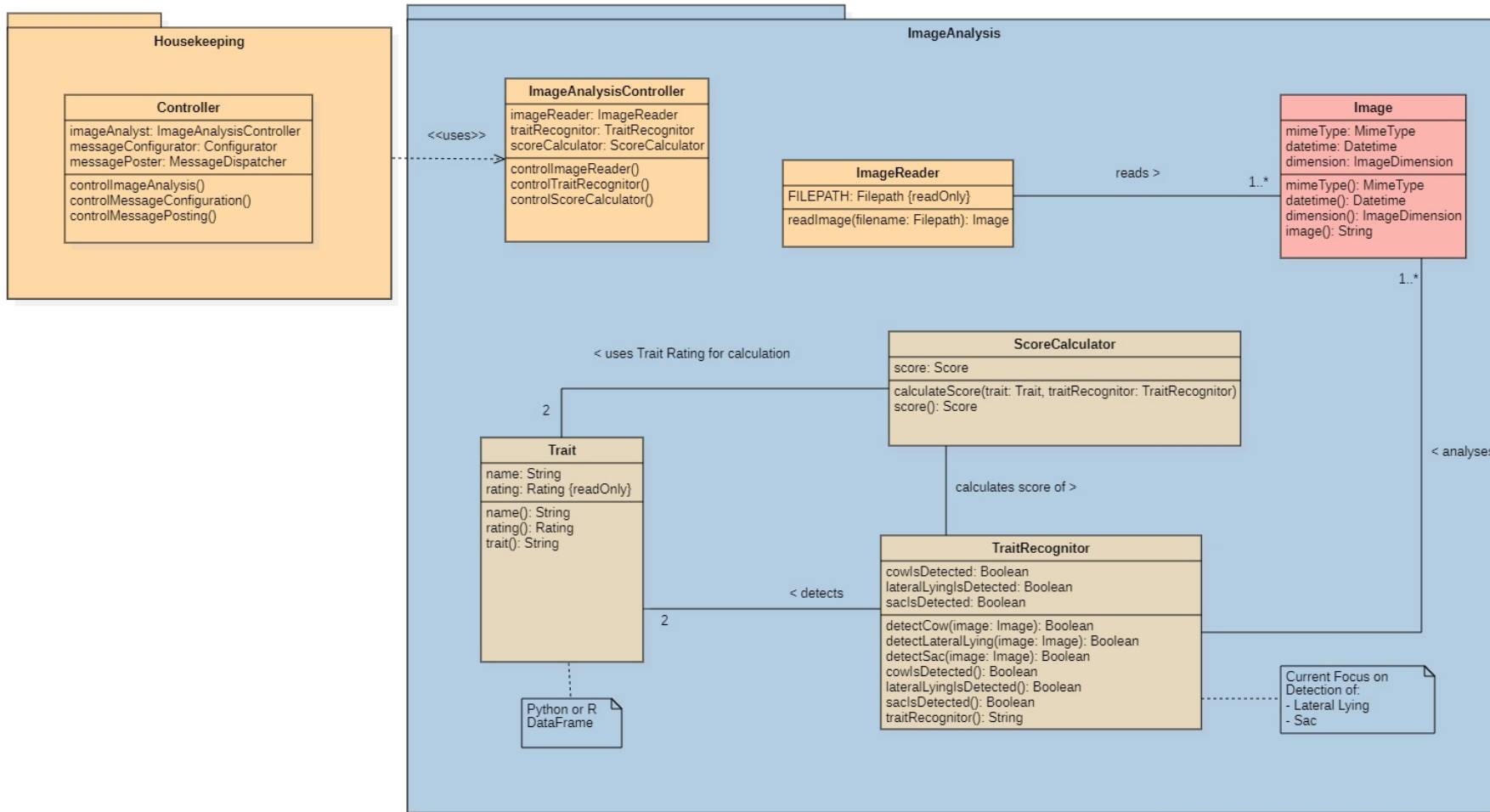


Abbildung 16: Lösungsdokumentation des Pakets Image-Analysis zur Geburtsprognose und Geburtserkennung.

4.2.2 Klassendiagramm der Pakete Message-Configuration und Message-Posting

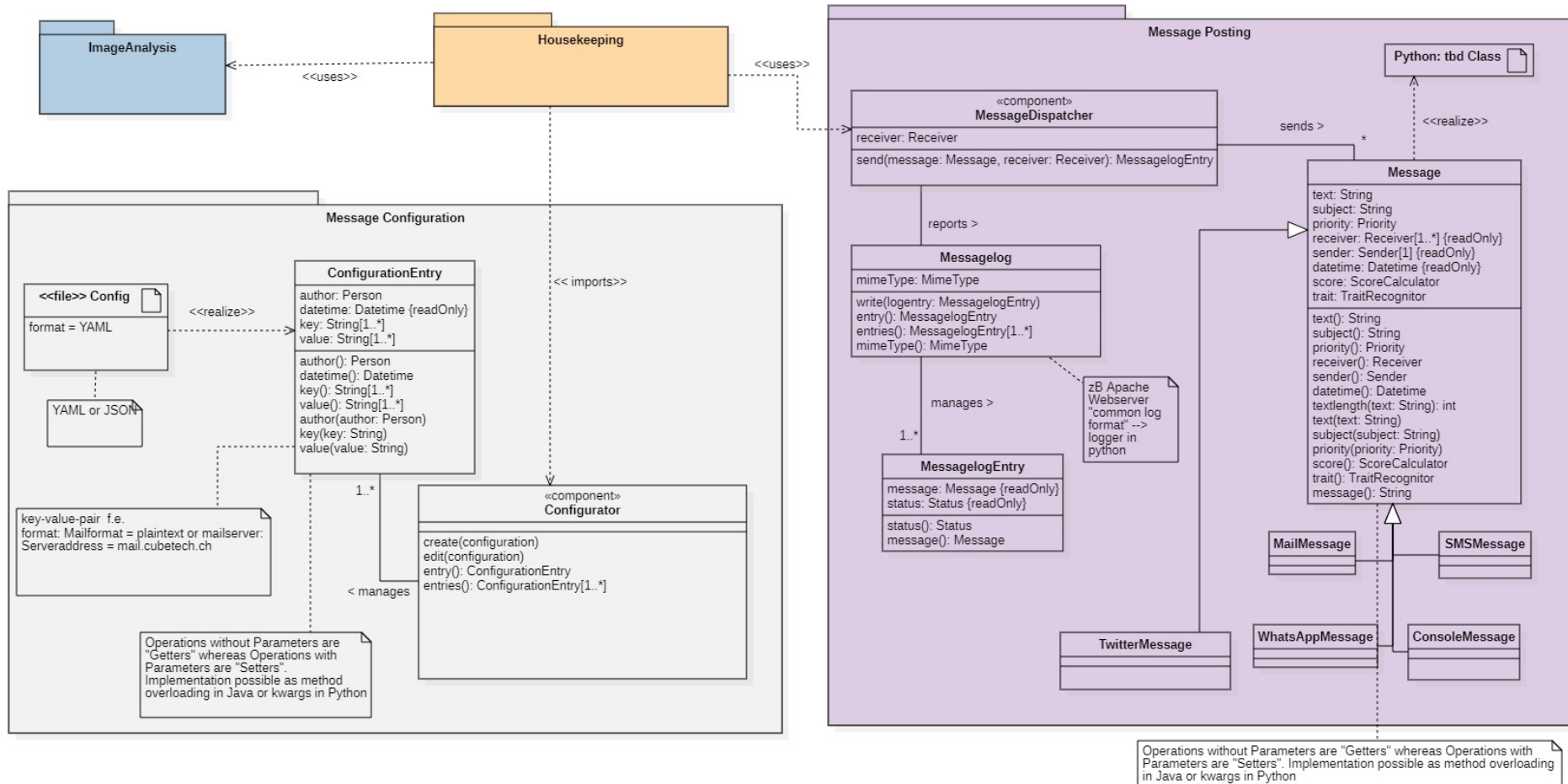


Abbildung 17: Lösungsdokumentation der Pakete Message-Configuration zur Konfiguration und Message Posting zum Versand von Benachrichtigungen.

4.2.3 Value-Object-Bibliothek

Die Bibliothek an Value Objects wird gemäss Kapitel 3 Domänenanalyse eingesetzt.

Zusammenfassend ist erwähnenswert,...

4.3 Überlegungen für den Betrieb

Um einen stabilen Betrieb von elektronischen Geräten und dem Netzwerk auf einem Bauernhof sicherzustellen, müssen folgende Überlegungen gemacht werden:

4.4 Umsetzung in Entwicklung

Für Bildanalysen sind grundsätzlich Methoden des Machine Learning geeignet. Da für die vorliegende Arbeit jedoch nicht auf eine grosse Menge von klassifizierten Bildern zugegriffen werden kann, wird die Bildanalyse auf Basis von geometrischen Eigenschaften durchgeführt. Um die schrittweise Entwicklung und entsprechende Teilergebnisse der Bildbearbeitung zu veranschaulichen, dient Abbildung 18 als Ausgangsbild. Dieses Bild wurde vom System erstellt, welches im Rahmen der erwähnten Case-Arbeit entwickelt wurde. Anschliessend wurde das Bild mit der Funktion `add()` heller gemacht und unter Anwendung von `createCLAHE()` und `clahe.apply()` wurde das Histogramm des Bildes geglättet.



Abbildung 18: Beispielbild als Ausgangslage zur Veranschaulichung des Vorgehens

Abbildung 19 zeigt auf der linken Seite das Histogramm des Originalbilds und auf

der rechten Seite das Histogramm des aufgehellten und geglätteten Bilds. Dabei fällt auf, dass aufgrund der Aufhellung des gesamten Bildes im Histogramm der Wertebereich nach rechts verschoben wird. Zudem sind als Folge der Glättung des Histogramms mittels CLAHE¹ die Anzahl Pixel weniger stark auf einen Bereich konzentriert. CLAHE ist ein Verfahren, dass für die Glättung von Bildern und Verbesserung des Kontrasts eingesetzt wird. Ein Vorteil der Methode ist, dass aufgrund einer parametrisierbaren Begrenzung der Kontrastverstärkung die Überbetonung von Rausch in relativ homogenen Regionen des Bilds verhindert wird (**Fernández Villán 2019**, S. 313).

Das Bild 18 wird nun unter Anwendung von diversen Methoden aus der Bildanalyse und der Software-Bibliothek OpenCV bearbeitet und analysiert, um daraus Information zum Geburtsverlauf eines Kalbes zu gewinnen. In der vorliegenden Arbeit liegt der Fokus in der Detektierung von seitlichem Liegen, da die Erkennung dieses Geburtsmerkmals einen hohen Mehrwert bringt.

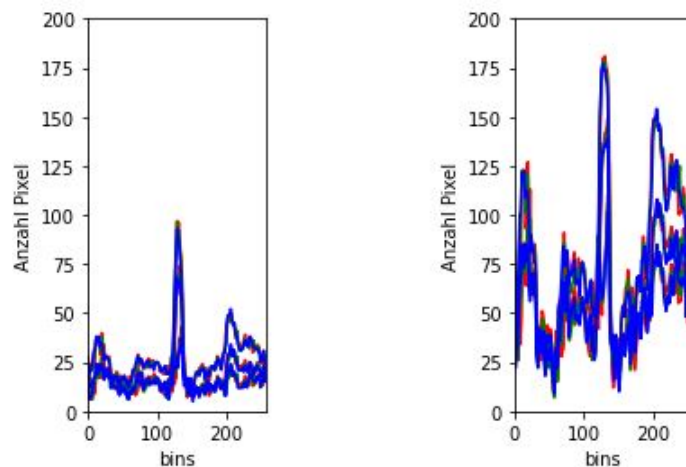


Abbildung 19: Vergleich der Histogramme vor und nach Bildbearbeitung

4.4.1 Detektierung von unwichtigen Bereichen im Bild

Um das Potential aus der Detektierung von unwichtigen Bereichen zu veranschaulichen, wird in einem ersten Schritt ein Binärbild des Originalbilds erstellt. Dazu wird die Funktion `threshold()` mit dem Verfahrenstyp `THRESH_BINARY` und dem Wert 90 als Schwellwert eingesetzt. OpenCV ermöglicht mit der Funktion `threshold()`,

¹Contrast Limited Adaptive Histogram Equalization

die Segmentierung des Bilds. Dabei wird dieses in eine Repräsentation umgewandelt, welche sich für die Weiterverarbeitung besser eignet als die ursprüngliche. ([Fernández Villán 2019](#), S.328-335) In der vorliegenden Arbeit basiert die Extraktion von Objekten darauf, dass durch Schwellwertverfahren bestimmte Eigenschaften wie Farben und Ecken erkannt werden können und dadurch mittels Partition des Bildes zwischen Vorder- und Hintergrund unterschieden werden kann. Die Auswahl vom Wert 90 als Schwellwert hat zur Folge, dass Pixel mit einer Intensität kleiner gleich 90 im resultierenden Bild schwarz dargestellt werden und alle anderen Pixel weiss. Gleichung 4 verdeutlicht die Folge der Parametrisierung von `threshold()` in der vorliegenden Arbeit.

$$dst(x, y) = \begin{cases} 255, & \text{if } src(x, y) > 90 \\ 0 & \text{otherwise} \end{cases} \quad (4)$$

Als Bild zur Eingabe dient ein Graustufenbild. Grundsätzlich können mithilfe des Parameters `maxval` bei Erreichung des Schwellwerts auch Graustufen als Zielwert für Pixel zugewiesen werden. Da in der vorliegenden Arbeit das Schwellwertverfahren aber in erster Linie zur Vorbereitung für `findContours()` gemacht wird, bringt ein Bild in Graustufen keinen Mehrwert. Die Funktion `findContours()` weist sämtlichen Pixeln, die nicht den Wert 0 haben, den Wert 1 zu. Dementsprechend wird auch ein Bild mit Graustufen als Binärbild behandelt ([Fernández Villán 2019](#), S. 366).

Nebst der Funktion `threshold()` und dem Typ `THRESH_BINARY` bietet OpenCV weiteren Typen wie `THRESH_BINARY_INV` oder `THRESH_TRUNC` und das adaptive Schwellwertverfahren `adaptiveThreshold()` an. Adaptive Schwellwertverfahren ermöglichen den Einsatz von spezifischen Schwellwerten für einen Pixel im Zielbild. Dieser spezifische Schwellwert wird auf Basis einer Gruppe von benachbarten Pixeln ermittelt ([Fernández Villán 2019](#), S.342 f). Die im Rahmen der Bachelor-Arbeit entwickelte Lösung unterstützt die Parametrisierung dieser Funktionen mittels Enumerations. Diese haben für die vorliegende Bildanalyse jedoch keine zentrale Bedeutung und werden deshalb nicht weiter erläutert.



Abbildung 20: Binärbild als Resultat vom Schwellwertverfahren

Im Binärbild aus Abbildung 20 werden anschliessend mit den Funktionen `findContours()` und `drawContours()` Konturen gesucht und im Originalbild eingezeichnet. Die Funktion `findContours()` wird verwendet, um Konturen in einem Binärbild zu erkennen. Der Algorithmus unterstützt unterschiedliche Modi wie `RETR_EXTERNAL` für die Beschränkung auf äussere Konturen, `RETR_LIST` für die Ausgabe sämtlicher Konturen ohne Hierarchie oder `RETR_TREE` für die zusätzliche Ausgabe von Informationen zur Hierarchie der Konturen (Fernández Villán 2019, S.366). In der vorliegenden Arbeit wurde in erster Linie der Verfahrenstyp `RETR_EXTERNAL` verwendet. Abweichungen werden entsprechend erwähnt.



Abbildung 21: Originalbild mit sämtlichen Konturen rot eingefärbt

Die Anwendung der Funktion `findContours()` ohne Einschränkung der zu analysierenden Bereiche in Abbildung ?? verdeutlicht, dass viele Konturen eingezeichnet werden, die sich von den Konturen der Kuh stark unterscheiden. Im vorliegenden Bild betrifft dies in erster Linie die Lampe und Strohhaufen. Der Autor setzt sich daher zum Ziel, unwichtige Bereiche im Bild zu identifizieren. Dies umfasst Bereiche, welche mit hoher Wahrscheinlichkeit nicht Teile einer Kuh oder eines Kalbs zeigen. Die Farbwerte dieser Teile im Bild unterscheiden sich stark von den meisten Farben im Kuhfell.

Die Strohhaufen und Schatten unterhalb des Schwanzes oder unterhalb der Beine der Kuh werden ganz einfach gefiltert, indem nur Konturen mit einer Fläche von mehr als 1250 Pixel berücksichtigt werden. Daraus entsteht Abbildung 22.



Abbildung 22: Originalbild mit rot eingefärbten Konturen mit Fläche über 1250 Pixel

Um weitere, unwichtige Konturen wie die Lampe zu erkennen, wird ein Verfahren zur Analyse von Farbwerten durchgeführt. Dabei wird in einem ersten Schritt ein Farbbereich für die Lampe definiert. Um einen Richtwert für diesen Farbwert zu erhalten, wird mithilfe des Grafikprogramms GIMP (Version 2.10, www.gimp.org) ein Farbwert im Bereich der Lampe ausgelesen. Auf Basis dieses Richtwerts wird anschliessend ein Wertebereich für die Farbwerte der zu identifizierenden Lampe festgelegt. Diese Schwellwerte werden der Funktion `inRange()` von OpenCV zwecks Erstellung eines Binärbilds übergeben. Sämtliche Bereiche mit Farbwerten, die sich zwischen den definierten Schwellwerten befinden, werden im resultierenden Bild weiss dargestellt. Diese entsprechen unwichtigen Bereichen im Bild. Alle anderen Bereiche sind im erstellen Binärbild schwarz dargestellt. Abbildung 23 zeigt das Binärbild, welches aus diesem Verfahren entsteht. Es ist klar zu erkennen, dass

4 Lösung

die Bereiche der Lampe weiss und übrige Bereiche schwarz sind. Der Ansatz der Schnur, mit welcher der Schwanz der Kuh an der Decke befestigt wird, ist ebenfalls erkennbar.



Abbildung 23: Binärbild stellt den Bereich der Lampe weiss dar

Dasselbe Vorgehen wird angewendet, um den Bereich des Stallbodens und Holzträgers zu identifizieren. Das erstellte Binärbild identifiziert auch einige dunkle Regionen im Deckenbereich als unwichtig. Das Ergebnis ist in Abbildung 24 abgebildet.

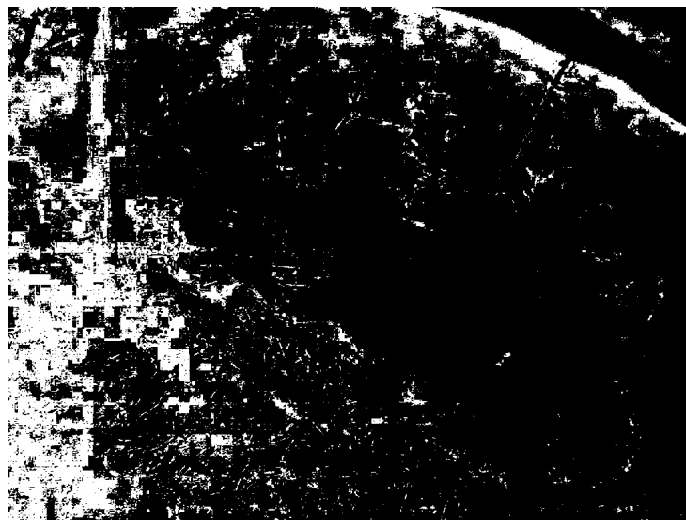


Abbildung 24: Binärbild zeigt den Bereich des Stallbodens und Holzträgers

Diese zwei Binärbilder werden nun mit dem Ziel weiterverarbeitet, ein Binärbild zu erstellen, welches möglichst viele unwichtige Regionen weiß darstellt. Durch die Funktion `bitwise_or` werden die Bilder so verknüpft, dass im resultierenden Bild sämtliche Bereiche weiß sind, die in einem der beiden oder in beiden Eingangsbildern weiß sind.

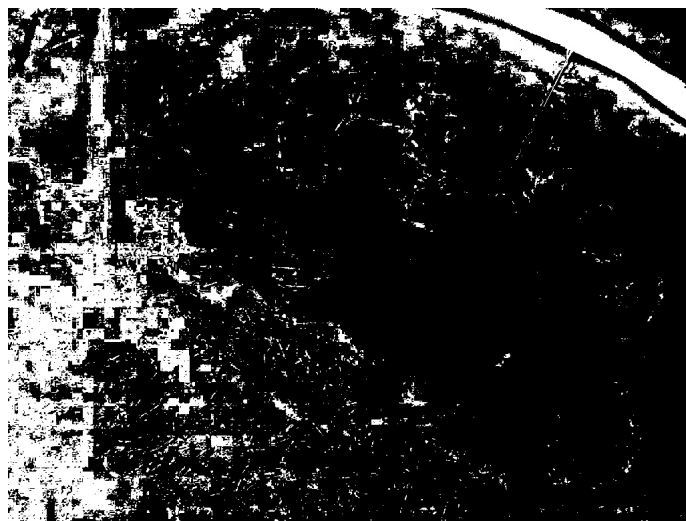


Abbildung 25: Binärbild zeigt die als unwichtig identifizierten Bereiche

Ausgehend von Abbildung 25 können die als unwichtig identifizierten Bereiche als Konturen erkannt und im Originalbild eingezeichnet werden. Um dies zu erreichen, werden die Funktionen `findContours()` und `drawContours()` wie bereits erwähnt angewendet. Das Resultat ist in Abbildung 26 veranschaulicht.



Abbildung 26: Unwichtige Bereiche als Konturen

Nun gilt es, auf Basis der als unwichtig identifizierten Konturen möglichst grosse Flächen aus dem Originalbild zu entfernen, respektive möglichst grosse Flächen mit schwarzer Farbe zu füllen. Um dies zu erreichen, werden mehrere Verfahren getestet. Die Abbildungen 27 bis 30 veranschaulichen die entsprechenden Resultate unter Verwendung von OpenCV.

In Abbildung 27 wurde `approxPolyDP()` verwendet, um basierend auf den Konturen ein Vieleck zu approximieren. Die Funktion arbeitet nach dem Douglas-Peucker-

Algorithmus, welcher aus einer gegebenen Kontur eine dezimierte Kontur mit weniger Punkten erstellt. Dabei kann der Funktion die maximale Distanz der originalen Kontur und ihrer Approximation als Argument mitgegeben werden (**Fernández Villán 2019**, S. 383).



Abbildung 27: Unwichtige Bereiche als Polygone

Weiter wurde versucht, die unwichtige Fläche im Originalbild durch konvexe Hüllen zu maximieren. Das Bild 28 zeigt konvexe Hüllen der Konturen, die als Ergebnisse der Funktion `convexHull()` entstehen.



Abbildung 28: Unwichtige Bereiche als konvexe Hülle

Als weiterer Lösungsansatz wurde die Funktion `minEnclosingCircle()` verwendet, um Kreise zu finden, welche Konturen mit möglichst geringer Fläche umschließen (Abbildung 29).

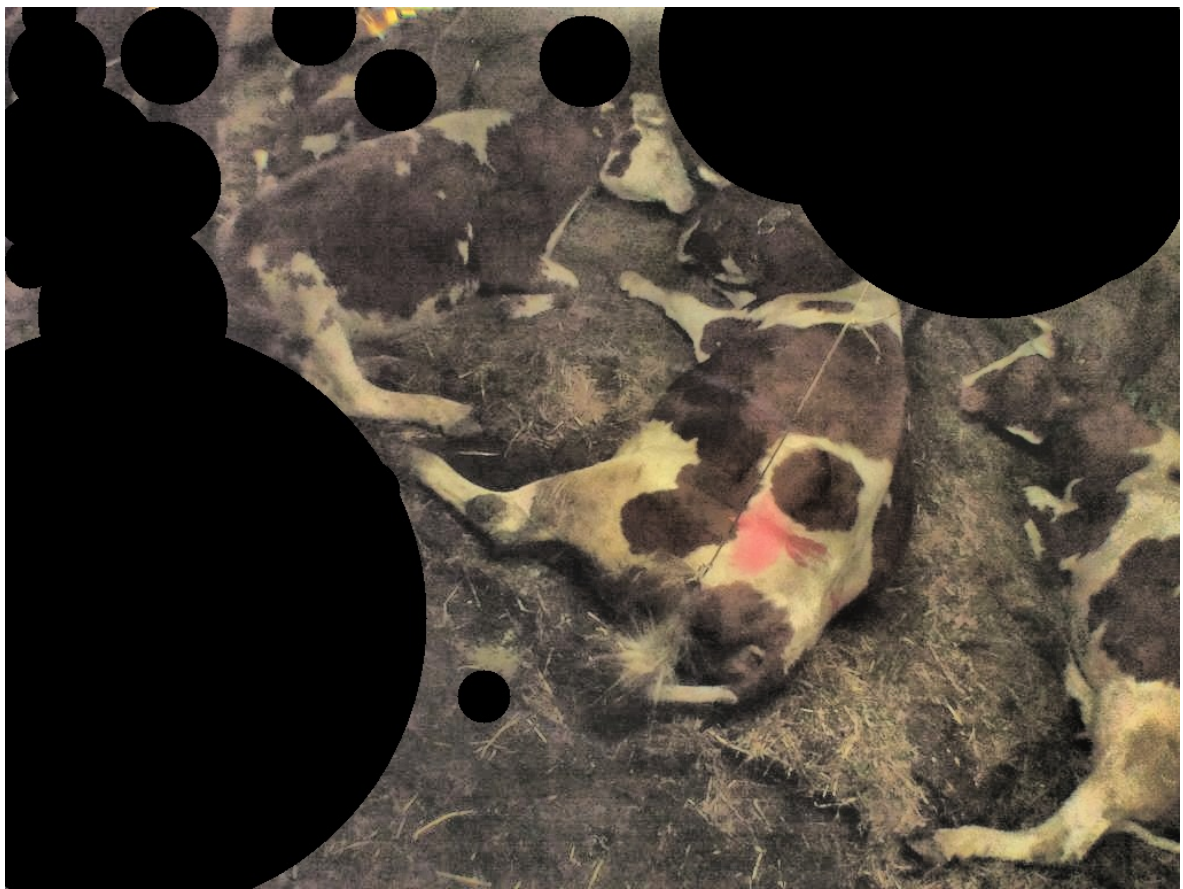


Abbildung 29: Unwichtige Bereiche als Kreise

Abschliessend wurden für die Abbildung 30 mit der Funktion `boundingRect()` Rechtecke gebildet, welche die Konturen umschließen.



Abbildung 30: Unwichtige Bereiche als Rechtecke

Die Verfahren, welche mittels `minEnclosingCircle()` und `boundingRect()` angewendet werden, ergeben im vorliegenden Kontext die besten Ergebnisse. Einerseits werden die als unwichtig identifizierten Flächen maximiert. Andererseits werden nur sehr kleine Bereiche der Kuh fälschlicherweise als unwichtig eingestuft. Da perfekte Kreise in nach der Ermittlung der Konturen mithilfe von `findContours()` bei den Kühen nicht vorkommen, entscheidet sich der Autor dafür, unwichtige Bereiche als schwarze Kreise einzuziehen. Zudem können diese Kreise in der weiteren Bildbearbeitung problemlos als solche erkannt werden. Dementsprechend wird das in Abbildung 29 dargestellte Bild zur weiteren Analyse verwendet. An dieser Stelle ist jedoch auch Kritik an dieser Methode zur Bestimmung von unwichtigen Bereichen angebracht. Die Funktion `inRange()` benötigt einen Wertebereich für Farben, um die unwichtigen Bereiche zu finden. Dieser Wertebereich ist stark von den Lichtver-

hältnissen im untersuchten Bild abhängig. Bei Tests mit verschiedenen Bildern, die ebenfafalls mit dem Raspberry Pi aufgenommen wurden, haben hat die falsche Detektierung von unwichtigen Bereichen das Gesamtergebnis verschlechtert. Aus diesem Grund wird mittels Konfiguration `AdvancedUnimportantColorRange=False` die Möglichkeit geboten, nur die Farbbereiche der Lampe zu nutzen. Diese wird in allen durchgeführten Tests zuverlässig detektiert.

4.4.2 Detektierung von wichtigen Bereichen im Bild

In einem ersten Schritt wird die geglättete und aufgehelle Version von Bild 29 mit dem adaptiven Schwellwertverfahren bearbeitet. Um dies zu erreichen, wird die Funktion `adaptiveThreshold()` mit den Argumenten `THRESH_BINARY_INV` und `ADAPTIVE_THRESH_MEAN_C` aufgerufen. Das Ergebnis dieses Versuchs, wichtige Bereiche des Bilds zu detektieren, ist in Abbildung 31 ersichtlich. Die angestrebte Partitionierung des Bildes in Bereiche der Kuh und in alle anderen Bereiche funktioniert nicht. Deshalb wird der Versuch mit denselben Einstellungen aber mit einem nicht geglätteten Bild wiederholt.

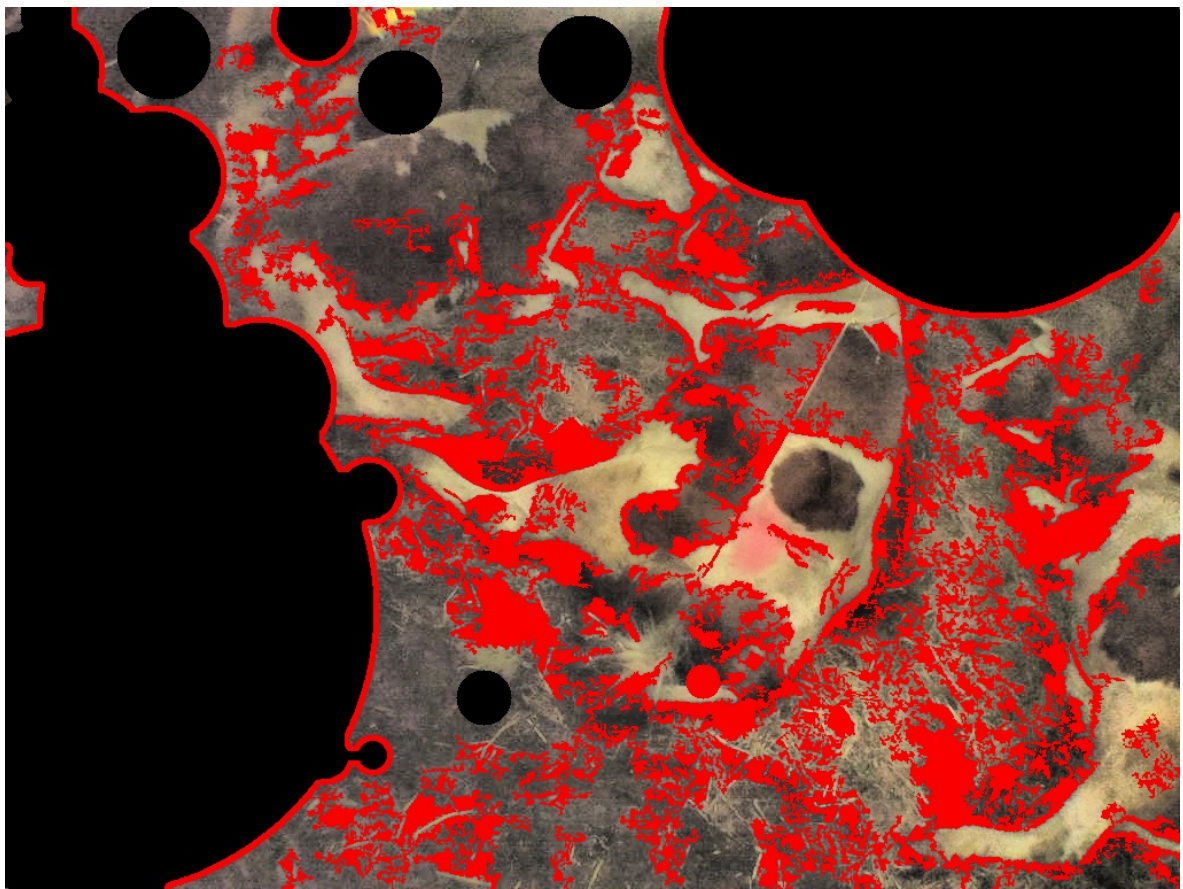


Abbildung 31: Detektierung von wichtigen Bereichen mittels adaptivem Schwellwertverfahren

Das Ergebnis ist in Abbildung 32 dargestellt und stellt ein besseres Zwischenergebnis dar. Als entsprechende Erkenntnis leitet der Autor ab, dass die Glättung von Histogrammen zwar die Bildqualität und Interpretationsfähigkeit für den Menschen steigert, aber im vorliegenden Kontext auch negativen Einfluss auf das Schwellwertverfahren hat.

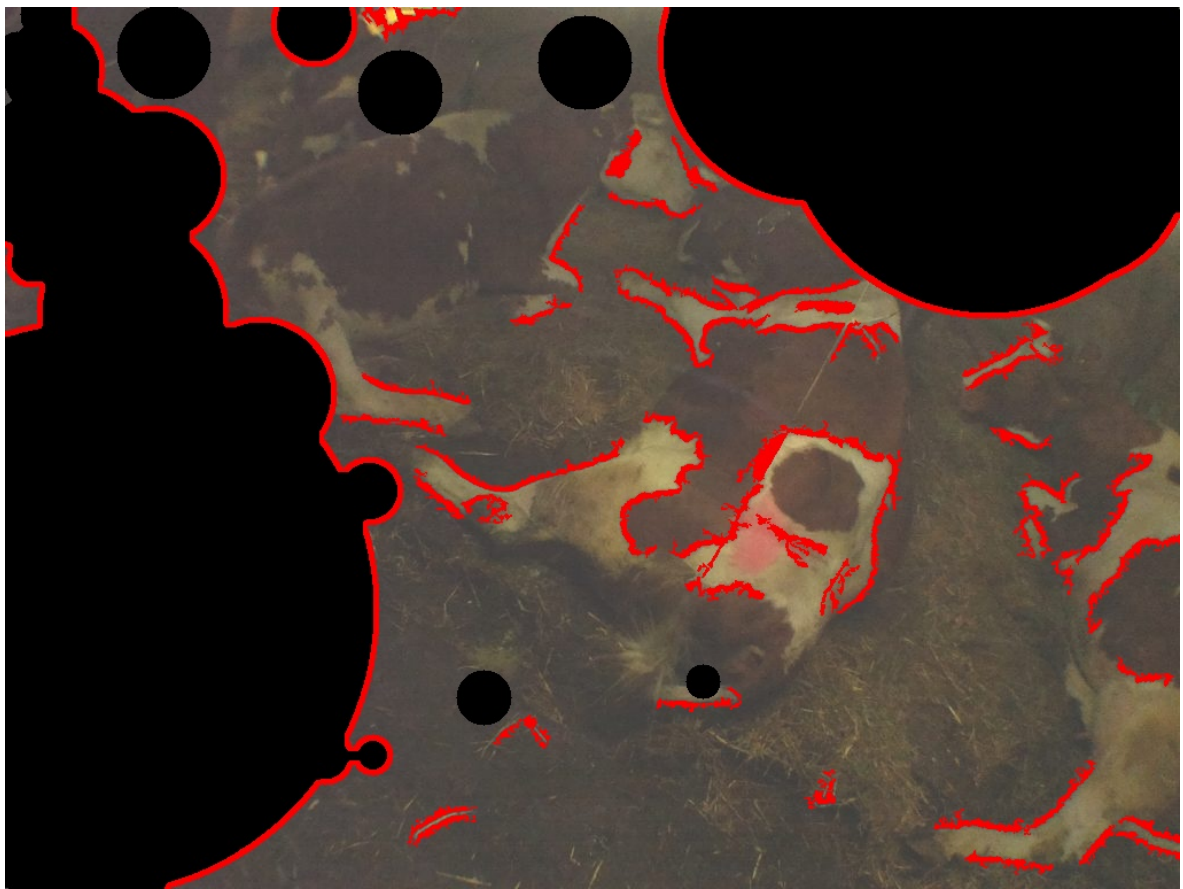


Abbildung 32: Versuch, aus nicht geglättetem Bild wichtige Bereiche zu detektieren

Abbildung 32 zeigt das Resultat einer vielversprechenden Analyse. Das Ergebnis ist aber insofern kritisch zu beurteilen, da die rote Farbe die gesamte Kontur ausfüllt, die detektiert wurde. Dementsprechend werden die Beine beispielsweise nicht als Kontur erkannt, sondern lediglich die Umriss davon. Dies dient als Motivation, die Konfiguration des Schwellwertverfahren anzupassen. Demzufolge wurde mit der Funktion `threshold()` und den Argumenten `THRESH_BINARY` als Verfahrenstyp, und dem Wert 90 als Schwellwert angewendet. Das Ergebnis daraus ist in Abbildung 33 dargestellt. Die als unwichtig identifizierten Bereiche werden nicht mehr berücksichtigt.

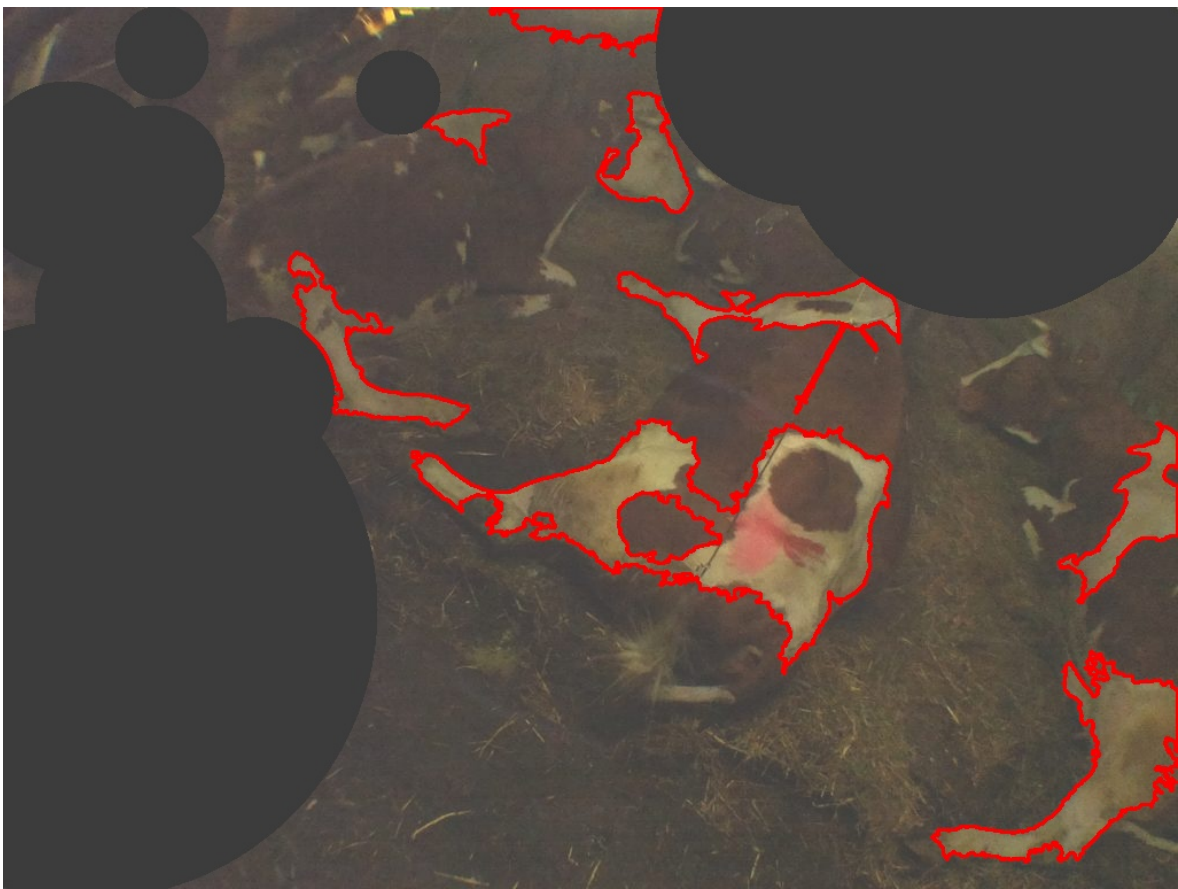


Abbildung 33: Ergebnisse nach angepasster Konfiguration des Schwellwertverfahrens

Es fällt nun auf, dass Flecken innerhalb der Kontur der Kuh erkannt werden. Da `findContours()` mit dem Argument `RETR_CCOMP` aufgerufen wird, werden auch Konturen innerhalb von den äusseren Konturen zurückgegeben und in eine Hierarchie eingeteilt. Die äusseren Konturen entsprechen in den meisten Fällen den Umrissen der Kuh oder der Flecken. Zum aktuellen Zeitpunkt reicht es aus, nur diese Umrisse zu erkennen und dementsprechend wird `findContours()` mit dem Argument `RETR_EXTERNAL` aufgerufen. Das Ergebnis ist in Abbildung 34 sichtbar.

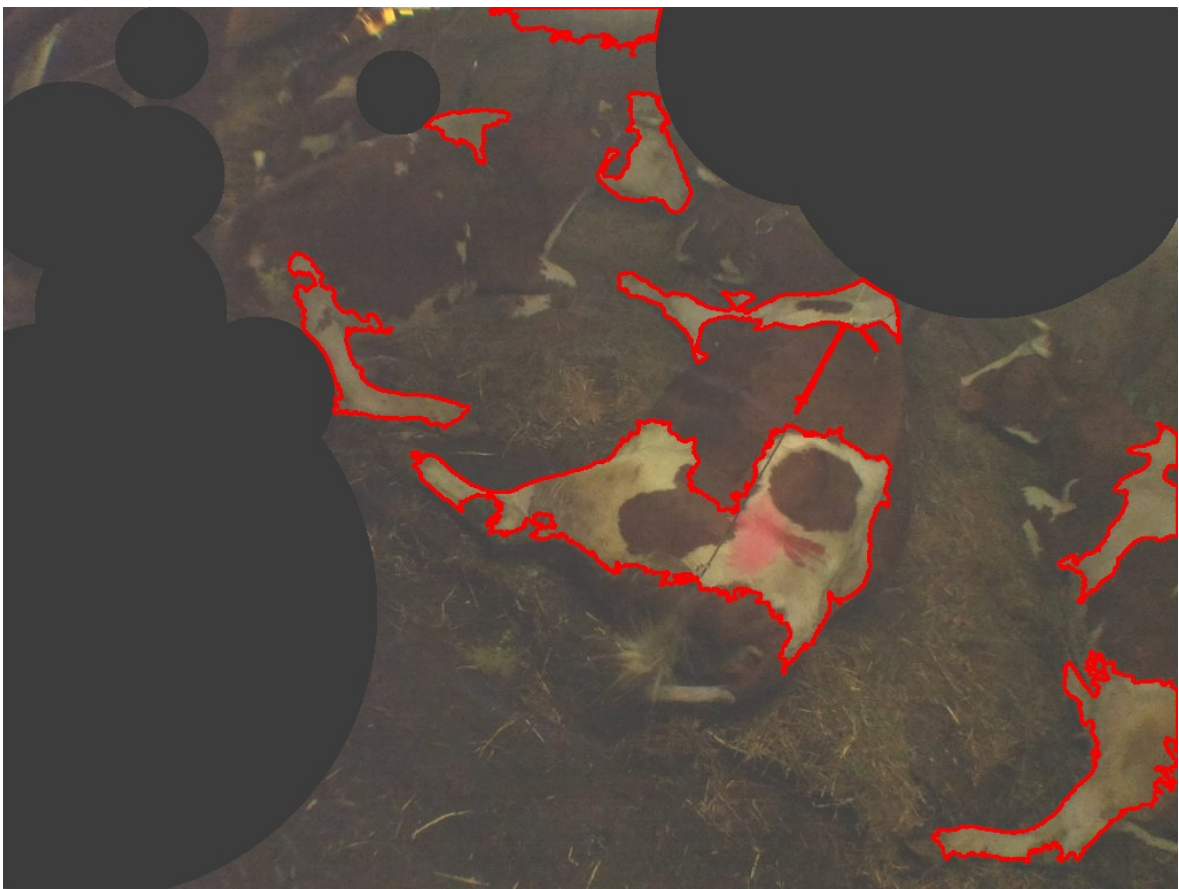


Abbildung 34: Ergebnisse nach angepasster Konfiguration des Contour Finders

Dabei unterscheiden sich die Ergebnisse bei der Anwendung von `findContours()` mit unterschiedlichen Approximationsverfahren wie `CHAIN_APPROX_SIMPLE`, `CHAIN_APPROX_TC89_L1`, `CHAIN_APPROX_TC89_KCOS` von der Deaktivierung der Approximation nicht wesentlich.

Da nun lediglich äussere Konturen detektiert werden, dürfen diese Konturen mit Farbe gefüllt werden, ohne relevante Informationen über Hierarchien zu vernichten (Abbildung 35).

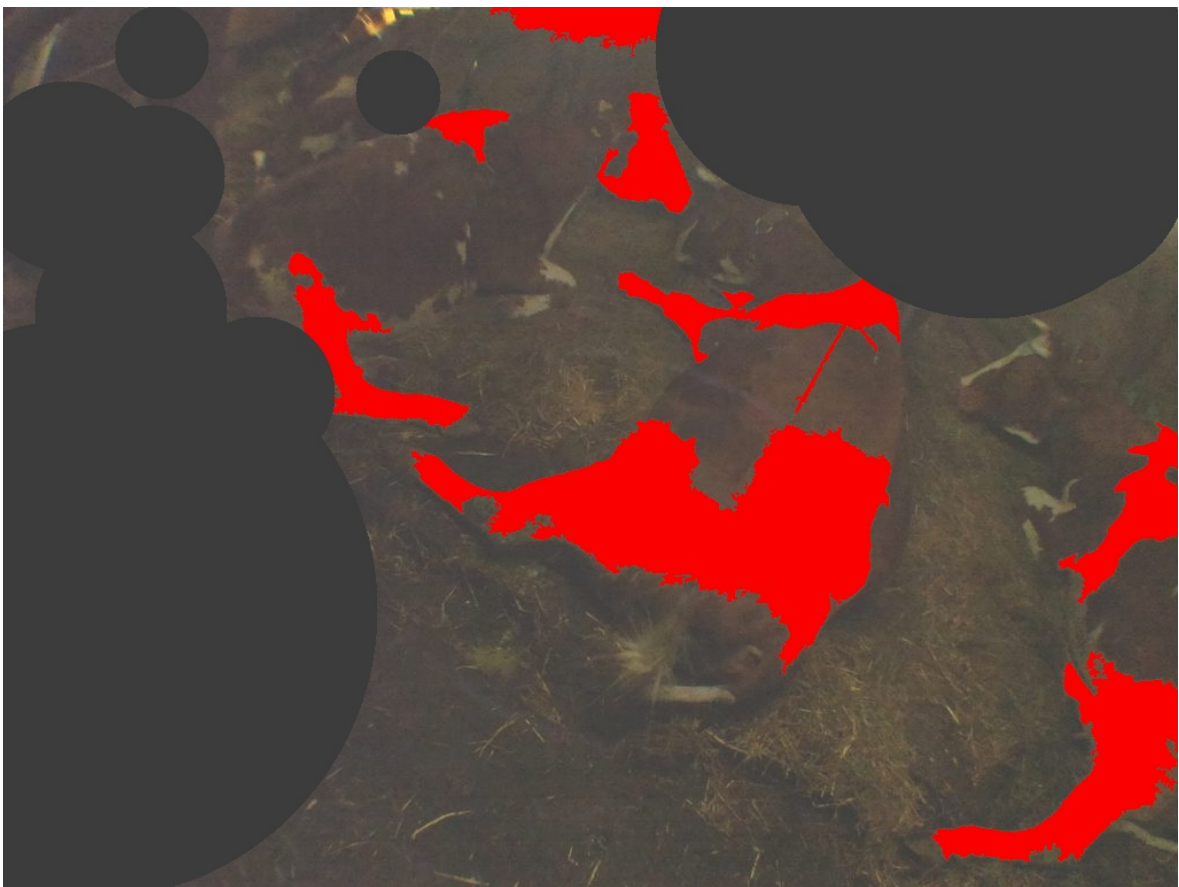


Abbildung 35: Konturen mit Farbe gefüllt

4.4.3 Erkennung von seitlich liegender Kuh

Aus der Domänenanalyse und Experteninterviews hat sicher ergeben, dass seitliches Liegen ein starkes Geburtsanzeichen ist und entsprechend detektiert werden muss. Die Seitenlage charakterisiert sich unter anderem mit gestreckten Beinen. Um diese zu erkennen, werden die geometrischen Eigenschaften der detektierten Konturen nachfolgend mit unterschiedlichen Verfahren analysiert. Diese Analyse soll die Filterung der unwichtigen Konturen erlauben.

Da nun keine weiteren Konturen mehr gesucht werden (kein Aufruf von `findContours()`), sind nachfolgend sämtliche dargestellten Bilder bearbeitet, um deren Helligkeit und Kontrast zu erhöhen. Dies wurde unter Anwendung der Funktionen `add()` und `createCLAHE()` gemacht. Zudem wurden die schwarzen Kreise, welche unwichtige

Bereiche des Bildes verdecken entfernt. Dies erhöht die Lesbarkeit des Berichts. Zudem wurden Rechtecke gezeichnet, welche die Konturen jeweils umschließen. Diese erhöhen das Verständnis von den geometrischen Eigenschaften und Filterungen. Dabei werden Konturen, als Resultat der Analyse als wichtig befunden wird jeweils rot eingefärbt. Diese werden schrittweise gefiltert. Konturen, welche in einem Zwischenschritt als unwichtig erkannt werden, werden mit grüner Farbe gefüllt.



Abbildung 36: Ausgangslage vor der Analyse und Filterung der Konturen

4.4.3.1 Filterung der Konturen nach Winkel

Typischerweise strecken Kühe in Seitenlage die Beine ungefähr rechtwinklig vom Körper weg. Die Infrastruktur vom Bauernhof des Arbeitgebers im Schwellibach ist auf Anbindehaltung ausgelegt. Wenn der Stall voll ist, also in jeder Box eine Kuh

ist, liegen die Kühe beim Kalbern gerade in der Box ([Müller 2020a](#)). Dementsprechend können Konturen als unwichtig betrachtet werden, wenn deren Ausrichtung stark von 90° abweicht. Als Referenzobjekt für die Messung des Winkels dient die Lampe, welche in Realität rechtwinklig zur Box der Kuh und waagrecht montiert ist. Da die Lampe in Bildern nicht waagrecht abgebildet ist, werden die Winkel sämtlicher Konturen um diese Abweichung bereinigt (Formel 5). Für die Messung der Winkel wurde die Funktion `fitEllipse()` verwendet, welche den Winkel der entsprechenden Ellipse zurückgibt.

$$\delta_i = (\alpha_i - \beta + \gamma) \bmod 360 \quad (5)$$

wobei δ_i dem bereinigten Winkel von Kontur i , α_i dem gemessener Winkel von Kontur i , β dem tatsächlichen Winkel der Lampe und γ dem erwarteten Winkel der Lampe entspricht.

Das Vorgehen gleicht grundsätzlich dem Prinzip, das Bild solange zu drehen, bis die Lampe waagrecht im Bild ist und erst dann die Winkel zu messen. Abbildung 37 veranschaulicht die Überlegung.

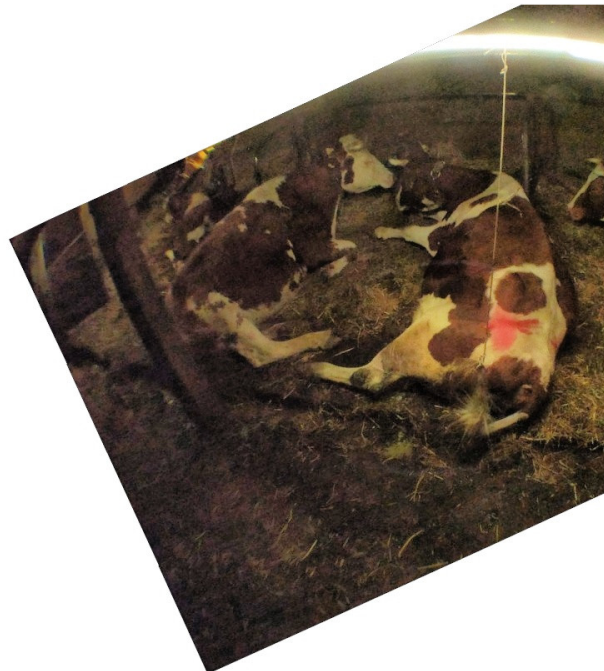


Abbildung 37: Veranschaulichung zur Analyse der Winkel

Die Abbildung 38 zeigt in roter Farbe die Konturen, welche weiterhin als Beine von seitlich liegenden Kühen vermutet werden und entsprechend weiter analysiert werden. Die bereinigten Winkel der grün eingefärbten Konturen liegen nicht im Wertebereich zwischen 70–110°. Dabei sind die maximalen und minimalen Werte der betrachteten Winkel in der entwickelten Lösung mittels `MIN_LEG_ANGLE_EXPECTATION` und `MAX_LEG_ANGLE_EXPECTATION` konfigurierbar.

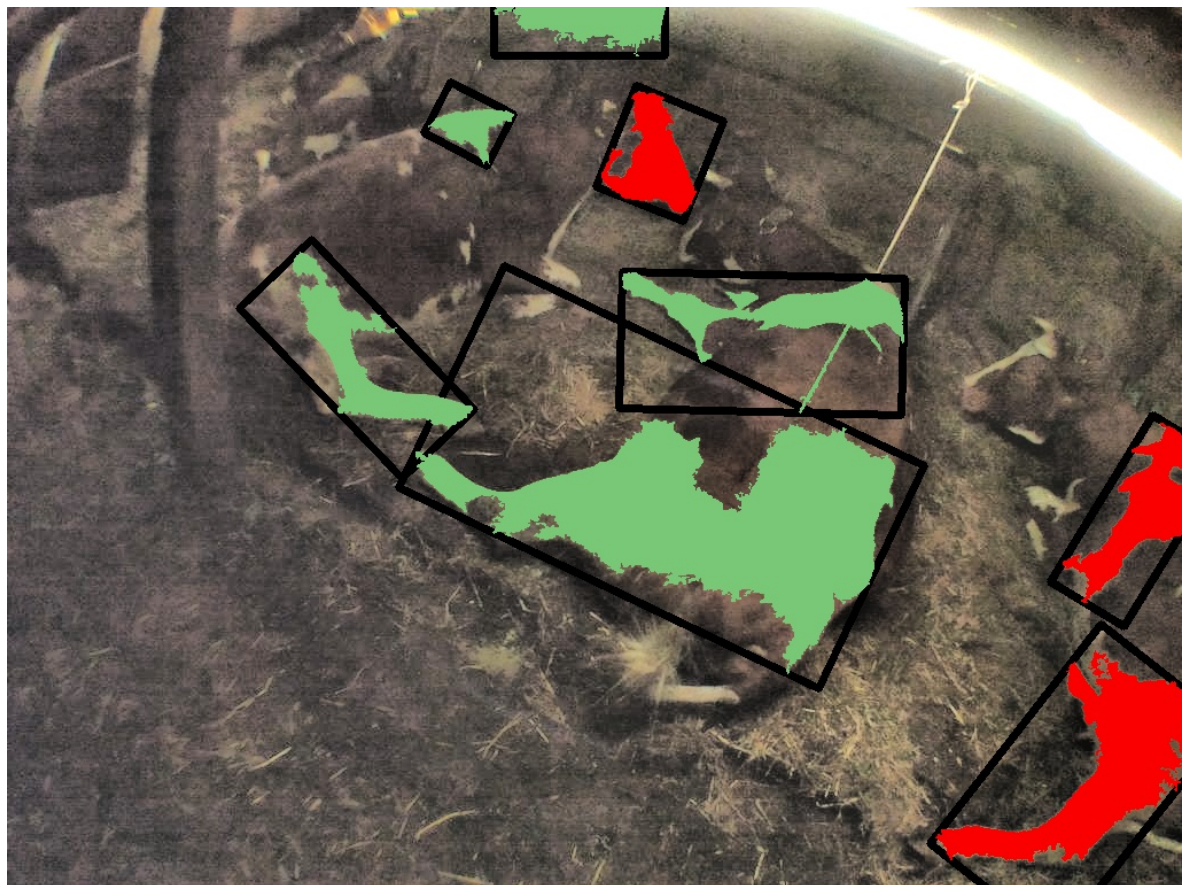


Abbildung 38: Ergebnisse nach Filterung der Konturen nach Winkel

Eine Ausnahme stellt ein nicht voller Stall dar. Leere Boxen ermöglichen der kalbernden Kuh, quer in die Box zu liegen ([Müller 2020a](#)). Für Kühe, welche neben einer leeren Box liegen, ist also die Filterung der Konturen nach Winkel nicht sinnvoll. Um dieser Situation gerecht zu werden, kann im entwickelten System mittels Konfiguration `filterbyAngle=False` die Filterung nach Winkel deaktiviert werden.

4.4.3.2 Filterung der Konturen nach Extent

Um diese Ergebnisse weiter zu analysieren, wurde mittels `minAreaRect()` für jede Kontur das Rechteck ermittelt, welches mit der kleinsten Fläche sämtliche Punkte der Kontur einschliesst. Die Rechtecke wurden schwarz ins Originalbild eingezeichnet. Dies dient als Grundlage des «Extent». Dabei handelt es sich um das Verhältnis zwischen der Fläche der Kontur und der Fläche des Rechtecks, das die Kontur einschliesst (Formel 6).

$$\text{Extent} = \frac{\text{Fläche der Kontur}}{\text{Fläche umschliessendes Rechteck}} \quad (6)$$

Der Autor erwartet, dass die Fläche der Kontur der Beine gegenüber dem darum gebildeten Rechteck klein ist. Entsprechend wird für als Extent bei Beinen ein tiefer Wert angenommen im Vergleich zum Wert des Extent bei anderen Figuren. Dementsprechend ermöglicht die entwickelte Lösung die Konstante `EXTENT_MAX` die Konfiguration eines Schwellwerts, nach welchem Konturen gefiltert werden.

Nun wird als Schwellwert für Extent 0.5 angenommen und entsprechend werden nur noch Konturen berücksichtigt, welche unterhalb dieses Werts liegen. In Abbildung 39 sind alle Konturen mit $\text{Extent} < 0.5$ rot und alle anderen Konturen grün eingefärbt. Das Ergebnis ist positiv, zwei unerwünschte Konturen können als solche erkannt werden.



Abbildung 39: Ergebnis der Filterung der Konturen nach Extent

Abbildung 40 veranschaulicht die Kombination der Filterung nach Winkel und Extent. Es können erfolgreich unwichtige Konturen gefiltert werden. Um die Ergebnisse der Analyse zu verbessern, sind jedoch zusätzlich Filterungen nötig.



Abbildung 40: Ergebnis der Filterung der Konturen nach Winkel und Extent

4.4.3.3 Filterung der Konturen nach Aspect Ratio

Rechtecke, welche die Beine der Kuh einschliessen, sind langgezogen. Der Autor überprüft nun die Vermutung, dass diese Eigenschaft dabei hilf, Beine von unwichtigen Konturen zu unterscheiden. Das Verhältnis zwischen Breite und Höhe von Rechtecken (nachfolgend Aspect Ratio genannt) liefert Informationen darüber, wie langgezogen ein Rechteck ist.

$$\text{Aspect Ratio} = \frac{\text{Breite}}{H\text{he}} \quad (7)$$

Da für den Autor grundsätzlich nicht das Verhältnis zwischen Breite und Höhe sondern das Verhältnis zwischen der langen und der kurzen Seite des Rechtecks entscheidend ist, wird die Formel 7 aus angepasst. Formel 8 beschreibt, was in der

technischen Implementierung realisiert wird.

$$\text{Aspect Ratio} = \frac{\text{lange Seite}}{\text{kurze Seite}} \quad (8)$$

Das Ergebnis der Filterung von Konturen mit dem Schwellwert 1 . 5 ist in Abbildung 41 abgebildet. Die Filterung der Konturen kann dadurch verbessert werden.



Abbildung 41: Ergebnis der Filterung von Konturen nach Aspect Ratio

4.4.3.4 Kombination der Filter nach Winkel, Extent und Aspect Ratio

Durch Kombination der Filterung nach Winkel, Extent und Aspect Ratio, erreicht man das Resultat gemäss Abbildung 42. Dabei werden Konturen mit einem bereinigten Winkel zwischen 70 und 110° , Extent unter 0.5 und Aspect Ratio über 1.5 berücksichtigt.



Abbildung 42: Ergebnis der Filterung der Konturen nach Winkel, Extent und Aspect Ratio

4.4.3.5 Filterung mittels Shape Matching

Nun werden vier Konturen als potentielle Konturen von Beinen bei seitlichem Liegen erkannt. Wünschenswert wäre nun, diese Auswahl weiter einzugrenzen. Um dies zu erreichen, sind Unterschiede der Konturen von den Beinen der mittleren Kuh und der Kontur des Hinterbeins der linken Kuh zu ermitteln. In erster Linie hat der Autor versucht, die Orientierung der Beine zu erkennen. Beim seitlichen Liegen der Kuh zeigen zwei Beine in dieselbe Richtung und deren Abstand liegt innerhalb eines bestimmten Bereichs. Anhand der Ausrichtung der Beine kann mit den bereits angewendeten Funktionen `minAreaRect()` und `fitEllipse()` keine weitere Filterung etabliert werden. Der Grund dafür ist, dass sämtliche Winkel in einem sehr ähnlichen Wertebereich sind. Auch die Messung des Abstands zwischen

den Beinen stellt ist mit den bereits angewendeten Mitteln nicht möglich. Der Autor ist der Meinung, dass sich im betrachteten Bild in erster Linie der Holzträger als Referenzobjekt für die Messung von Distanzen eignet. Dieser ist jedoch nicht in voller Länge im Bild, was die Messung ungenau macht. Darüber hinaus ist dieser Holzträger nicht in jedem Bild an derselben Stelle und auch nicht in jedem Bild sichtbar. Die Konturen der Beine sind keine geeigneten Referenzobjekte, da diese gestreckt oder gebeugt sein können. Der Autor ist der Ansicht, dass ein Referenzobjekt im Bild platziert werden müsste, um gute Resultate zu erreichen. Dieses Referenzobjekte sollte durch Methoden der Bildanalyse eindeutig zu erkennen sein.

An dieser Stelle verfolgt der Autor einen anderen Lösungsansatz. Die Funktion `matchShapes()` vergleicht sämtliche verbleibende Konturen und gibt eine Metrik zurück, welche die Ähnlichkeit der Konturen repräsentiert. Die Funktion unterstützt die drei Modi `CONTOURS_MATCH_I1`, `CONTOURS_MATCH_I2` und `CONTOURS_MATCH_I3` ([Fernández Villán 2019](#), S. 392). Sämtliche Modi ergeben im vorliegenden Kontext keinen Beitrag zur weiteren Filterung der Konturen. Bild 43) zeigt die Anwendung von `matchShapes()` mit dem Modus `CONTOURS_MATCH_I1` und dem Schwellwert 5. Die Konturen der Hinterbeine der zwei Kühe werden als ähnlicher betrachtet als die Konturen der Beine derselben Kuh.



Abbildung 43: Ergebnis der Shape Matching

Im angewandten Verfahren der Bildanalyse wurden die Winkel der Konturen bereits berücksichtigt. Um sicherzustellen, dass das Resultat von `matchShapes()` nicht auf die Winkel der Konturen zurückzuführen ist, werden sämtliche verbleibende Konturen auf einen zufällig ausgewählten Winkel von 60° verschoben. Anschließend werden die Konturen wieder mit `matchShapes()` verglichen. Das Ergebnis ist dasselbe, die Klassifikation kann zu diesem Zeitpunkt nicht weiter verbessert werden. Abbildung 44 zeigt die das Ergebnis der verschobenen Konturen mit einem weissen Hintergrund.

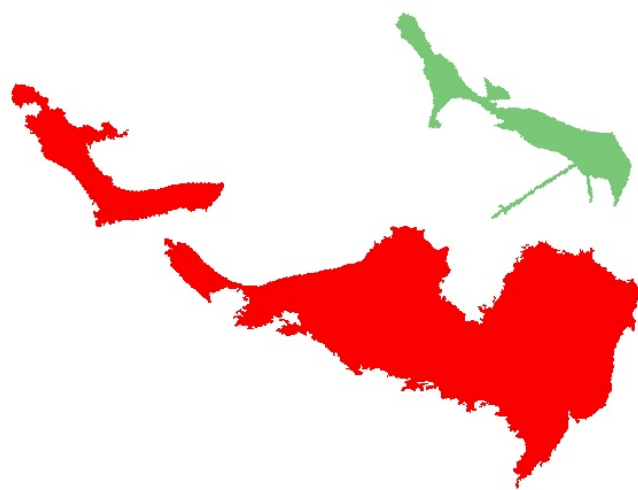


Abbildung 44: Ergebnis der Shape Matching und Korrektur der Winkel

Die Abbildung 42 zeigt das beste Resultat.

5 Resultate

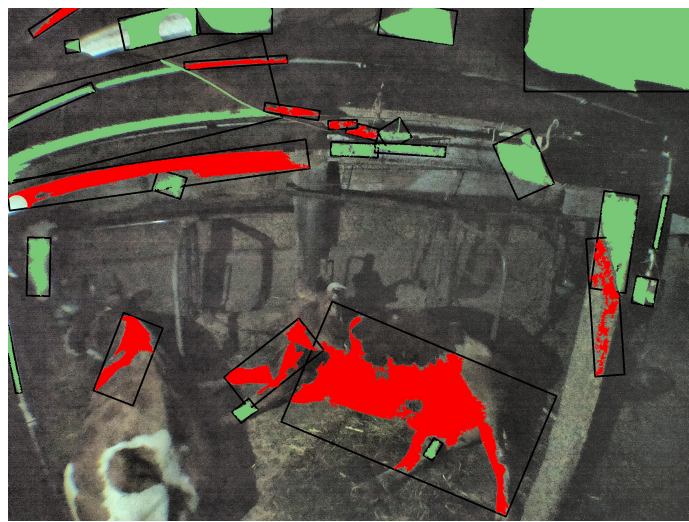


Abbildung 45: Weiteres Ergebnis von seitlich liegender Kuh



Abbildung 46: Ergebnis von stehender Kuh

5 Resultate



Abbildung 47: Weiteres Ergebnis von stehender Kuh

6 Ausblick

**Der Inhalt dieses Kapitels kann im Moment als Notiz betrachtet werden.
Ist noch nicht reingeschrieben.**

More data regarding prepartum behavioural changes are now needed from animals of other breeds reared under different conditions. Beyond their usefulness for farmers and veterinarians, automated detection systems may also provide valuable data on pre-calving physiological changes in a large number of animals. This could become a source of better knowledge that eventually will lead to more efficient monitoring systems. Exploring the relationship between calving phenotypic traits and genotypic data might lead to the identification of genomic regions influencing calving and eventually open the possibility for cows that calve more easily and with less perinatal mortality. **Saint-Dizier & Chistant-Maillard (2015)**

Weiterentwicklungsdeen:

- Machine Learning (wurde nicht gemacht, weil zu wenige Daten vorhanden)
-> Hierfür könnte man den Algorithmus "Haar Cascade zum Erkennen der Kühe/ Merkmale verwenden. -> hierfür werden viele Bilder berücksichtigt. Um dies zu erreichen eine datei positive-description und eine datei <negative-description> erstellen. die datei <positive-description> listet Bilder auf, wie oft ein Merkmal vorkommt und anschliessend die Koordinaten des Merkmals als Rechteck. Die Datei <negative-description> listet Dateien auf, in welchen das Merkmal nicht vorkommt. (**Howse et al. 2016**, S. 75 ff.) und (**Howse et al. 2016**, S. 139 ff.)
- Verbesserung der Objekterkennung anhand von Depth Cameras: Kapitel 5 von Joseph Howse et al. Dadurch könnte man nur den Vordergrund anschauen. (**Howse et al. 2016**, S. 91 ff.)
- Feature Detection und Perspective Transforms (**Howse et al. 2016**, S. 385 ff.)

7 Selbstreflexion

Selbstständigkeitserklärung

Ich bestätige, die vorliegende Arbeit selbstständig verfasst zu haben.

Sämtliche Textstellen, die nicht von mir stammen, sind als Zitate gekennzeichnet und mit dem genauen Hinweis auf ihre Herkunft versehen.

Die verwendeten Quellen (gilt auch für Abbildungen, Grafiken u.ä.) sind im Literatur- bzw. Quellenverzeichnis aufgeführt.

A handwritten signature in black ink, appearing to read "Dominique Müller". The signature is fluid and cursive, with a large, stylized 'D' at the beginning.

Dominique Müller

Abbildungsverzeichnis

1	Entwicklung der Anzahl Haupt- und Nebenerwerbsbetriebe nach Regionen (Agrarbericht.ch n.d.)	2
2	Schwanzhebung tritt vermehrt in den letzten 24 Stunden vor dem Kalben auf (Lange et al. 2017, S. 4847 f.).	10
3	Häufigkeit von Geburtsanzeichen während den letzten 24 Stunden vor Geburtsstadium 2 nach Lange et al.: Schwanzhebung (durchgezogene Linie), deutlicher Scheidenausfluss (kurze gestrichelte Linie), blutiger Scheidenausfluss (lange gestrichelte Linie) und seitliches Liegen mit Abdominalkontraktion (gepunktete Linie) (Lange et al. 2017, S. 4851).	11
4	Veranschaulichung zur Vorderendlage eines Kalbes (Traulsen & Tischer 2013, S. 17).	12
5	Die Fruchtblasen (Wasser- und Schleimblase) weiten bei der Öffnungsphase den Geburtsweg (Traulsen & Tischer 2013, S. 7)	13
6	Die Aufweitungsphase dauert bei Kühen im Normalfall 1 bis 3 Stunden. Bei Färzen kann dies bis zu 3 Stunden länger dauern. (Traulsen & Tischer 2013, S. 7)	14
7	In der Austreibungsphase wird das Kalb zur Welt gebracht (Traulsen & Tischer 2013, S. 8)	15
8	Austritt der Klauen des Kalbes (Müller 2020b)	22
9	Seitliches Liegen kurz vor der Geburt des Kalbes	22
10	Kamerabild der Schwanzhebung	23
11	Schleim im Schambereich der Kuh kurz vor der Geburt	23
12	Die Nachgeburt wird ausgelöst.	23
13	Domänenmodell Kalbsgeburt	25
14	Allgemeine Bibliothek an Value Objects	26
15	Bibliothek an Value Objects bezüglich Konfiguration und Versand von Nachrichten	27

Abbildungsverzeichnis

16	Lösungsdokumentation des Pakets Image-Analysis zur Geburtsprognose und Geburtserkennung	31
17	Lösungsdokumentation der Pakete Message-Configuration zur Konfiguration und Message Posting zum Versand von Benachrichtigungen.	32
18	Beispielbild als Ausgangslage zur Veranschaulichung des Vorgehens .	35
19	Vergleich der Histogramme vor und nach Bildbearbeitung	36
20	Binärbild als Resultat vom Schwellwertverfahren	38
21	Originalbild mit sämtlichen Konturen rot eingefärbt	39
22	Originalbild mit rot eingefärbten Konturen mit Fläche über 1250 Pixel	40
23	Binärbild stellt den Bereich der Lampe weiss dar	41
24	Binärbild zeigt den Bereich des Stallbodens und Holzträgers	42
25	Binärbild zeigt die als unwichtig identifizierten Bereiche	42
26	Unwichtige Bereiche als Konturen	43
27	Unwichtige Bereiche als Polygone	44
28	Unwichtige Bereiche als konvexe Hülle	45
29	Unwichtige Bereiche als Kreise	46
30	Unwichtige Bereiche als Rechtecke	47
31	Detektierung von wichtigen Bereichen mittels adaptivem Schwellwertverfahren	49
32	Versuch, aus nicht geglättetem Bild wichtige Bereiche zu detektieren .	50
33	Ergebnisse nach angepasster Konfiguration des Schwellwertverfahrens	51
34	Ergebnisse nach angepasster Konfiguration des Contour Finders . .	52
35	Konturen mit Farbe gefüllt	53
36	Ausgangslage vor der Analyse und Filterung der Konturen	54
37	Veranschaulichung zur Analyse der Winkel	55
38	Ergebnisse nach Filterung der Konturen nach Winkel	56
39	Ergebnis der Filterung der Konturen nach Extent	58
40	Ergebnis der Filterung der Konturen nach Winkel und Extent . . .	59
41	Ergebnis der Filterung von Konturen nach Aspect Ratio	60
42	Ergebnis der Filterung der Konturen nach Winkel, Extent und Aspect Ratio	61
43	Ergebnis der Shape Matching	63
44	Ergebnis der Shape Matching und Korrektur der Winkel	64
45	Weiteres Ergebnis von seitlich liegender Kuh	66
46	Ergebnis von stehender Kuh	67

Abbildungsverzeichnis

47	Weiteres Ergebnis von stehender Kuh	68
48	Mindmap als Entwurf für die Modellierung der Domäne. Farbcodierung gemäss Tabelle	88

Tabellenverzeichnis

1	Projektziele	5
2	Betriebliche Ziele für die Überwachung bei der Geburt von Kälbern.	6
3	Optionale Ziele für die Überwachung bei der Geburt von Kälbern.	6
4	Bewertung der Anwesenheit und Abwesenheit von Merkmalen als Indikator einer bevorstehenden Geburt.	19
5	Zuordnung von Merkmalen zu Geburtsphasen und Bewertung der Häufigkeiten von Merkmalen (Samuel Kohler)	20
6	Zuordnung von Merkmalen zu Geburtsphasen und Bewertung der Häufigkeiten von Merkmalen (Gaby Hirsbrunner)	21
7	Legende fürs Domänenmodell und für die UML-Diagramme als Lösungsdokumentation	24
8	Glossareintrag zu kalben	78
9	Glossareintrag zu abkalben	78
10	Glossareintrag zu Abdominalkontraktion	79
11	Glossareintrag zu Ödem	79
12	Glossareintrag zu Vorkalbeperiode	80
13	Glossareintrag zu Vorkalbeperiode	80
14	Glossareintrag zu Geburtsphase 2 nach Lange et al.	80
15	Glossareintrag zu Hyperplasie	81
16	Glossareintrag zu Plazenta-Retention	81
17	Glossareintrag zu Allantochorions	81
18	Glossareintrag zu Hypothalamus-Hypophysen-Nebennierenrinden-Achse	82
19	Basisinformationen zum Computer Entwicklung	83
20	Eingesetzte Software Entwicklung	83
21	Nützliche Links	87

Literaturverzeichnis

Agrarbericht.ch (n.d.), ‘www.agrarbericht.ch’.

URL: <https://agrarbericht.ch/de/betrieb/strukturen/betriebe?highlight=größenklasse>

Fernández Villán, A. (2019), *Mastering OpenCV 4 with Python*, Packt Publishing, Birmingham.

Hirsbrunner, G. (2020), ‘Interview 2.4.2020’.

Hofer, T. (2010), ‘Strukturwandel in der Zürcher Landwirtschaft’.

Howse, J., Joshi, P. & Beyeler, M. (2016), *OpenCV: Computer Vision Projects with Python*, Packt Publishing, Birmingham.

Kohler, S. (2020), ‘Interview 19.3.2020’.

Lange, K., Fischer-Tenhagen, C. & Heuwieser, W. (2017), ‘Predicting stage 2 of calving in Holstein-Friesian heifers’, *Journal of Dairy Science* **100**(6), 10.

URL: *Friu*

Müller, P. (2019), ‘Persönliche Kommunikation Sommer 2019’.

Müller, P. (2020a), ‘Nachbesprechung vom 1.5.2020’.

Müller, P. (2020b), ‘Nachbesprechung vom 2.4.2020’.

Müller, P. (2020c), ‘Persönliche Kommunikation 20. Februar 2020’.

Ouellet, V., Vasseur, E., Heuwieser, W., Burfeind, O., Maldague, X. & Charbonneau (2016), ‘Evaluation of calving indicators measured by automated monitoring devices to predict the onset of calving in Holstein dairy cows’, *Journal of Dairy Science* **99**(2), 1539–1548.

Pahl, C., Hartung, E., Grothmann, A., Mahlkow-Nerge, K. & Haeussermann, A. (2014), ‘Rumination activity of dairy cows in the 24 hours before and after calving’,

Journal of Dairy Science **97**(11), 3–7.

URL: <http://dx.doi.org/10.3168/jds.2014-8194>

Rupp, C., Stefan, Q. & Sophisten, D. (2012), *UML 2 glasklar*, 4 edn, Carl Hanser Verlag München, Nürnberg.

Saint-Dizier, M. & Chastant-Maillard, S. (2015), ‘Methods and on-farm devices to predict calving time in cattle’, *Veterinary Journal* **205**(3), 349–356.

URL: <http://dx.doi.org/10.1016/j.tvjl.2015.05.006>

Stefan, M., Mante, J. & Pfefferli, S. (2003), ‘Der agrarstrukturelle Wandel in der Schweiz’.

Streyl, D., Sauter-Louis, C., Braunert, A., Lange, D., Weber, F. & Zerbe, H. (2011), ‘Establishment of a standard operating procedure for predicting the time of calving in cattle’, *Journal of Veterinary Science* **12**(2), 177–186.

Swissgenetics (n.d.), ‘die-fruchtbare-kuh.ch’.

URL: die-fruchtbare-kuh.ch

Traulsen, K. & Tischer, M. (2013), Geburtsüberwachung und Geburtshilfe beim Rind, Technical report, Boehringer Ingelheim Vetmedica GmbH, Ingelheim am Rhein.

URL: <https://www.vetmedica.de/2013-01-metacam-geburtshilfebroschuere-561.pdfx>

Anhang

1 Glossar

Begriff	kalben
Bedeutung	ein Kalb gebären
Synonyme	
Oberbegriff	
Unterbegriffe	
Abgrenzung, Gültigkeit	Landwirtschaft
Eigenschaften	
Querverweise	

Tabelle 8: Glossareintrag zu kalben

Begriff	Abkalbung
Bedeutung	siehe "kalben"
Synonyme	kalben
Oberbegriff	
Unterbegriffe	
Abgrenzung, Gültigkeit	Landwirtschaft
Eigenschaften	
Querverweise	

Tabelle 9: Glossareintrag zu abkalben

Begriff	Abdominalkontraktion
Bedeutung	Kontraktion der Bauchmuskeln Ggf noch genauer abklären. geht es um eine Kontraktion der Bauchmuskeln im Sinne von Zusammenziehen des Rumpfs (sieht von aussen wie husten aus) oder geht es um Abduktion, also dem Wegführen der Extremität vom Körper. Oder sind damit Wehen gemeint?
Synonyme	
Oberbegriff	
Unterbegriffe	
Abgrenzung, Gültigkeit	Medizin
Eigenschaften	
Querverweise	

Tabelle 10: Glossareintrag zu Abdominalkontraktion

Begriff	Ödem
Bedeutung	Ein Ödem (Wassereinlagerung im Gewebe) entsteht dann, wenn in einem Gewebe die Durchblutung erhöht (zusammen mit veränderter Strömungsmechanik des Blutes) und/oder der Abfluss über Lymphe/Venen (oder auch die Wasserausscheidung über die Niere) gestört ist. Beispiel Euterödem: Mehre Tage vor dem Abkalben beginnt die Kuh mit dem „Aufeutern“, d.h. das Euter bereitet sich auf die kommende Laktation vor. Mit der beginnenden Milchproduktion muss das Eutergewebe stärker durchblutet werden. Swissgenetics (n.d.) Weiter treten auch Schamlippenödeme häufig auf.
Synonyme	
Oberbegriff	
Unterbegriffe	
Abgrenzung, Gültigkeit	Veterinärmedizin, Landwirtschaft
Eigenschaften	
Querverweise	

Tabelle 11: Glossareintrag zu Ödem

Begriff	Vorkalbeperiode
Bedeutung	Die Zeit, welche von 4 Tagen vor der Geburt bis zur Geburt reicht.
Synonyme	
Oberbegriff	
Unterbegriffe	
Abgrenzung, Gültigkeit	Veterinärmedizin, Landwirtschaft
Eigenschaften	
Querverweise	

Tabelle 12: Glossareintrag zu Vorkalbeperiode

Begriff	Dystokie
Bedeutung	Gestörter und/ oder verspäteter Geburtsverlauf, erschwerte Entbindung
Synonyme	
Oberbegriff	
Unterbegriffe	
Abgrenzung, Gültigkeit	Medizin
Eigenschaften	
Querverweise	

Tabelle 13: Glossareintrag zu Vorkalbeperiode

Begriff	Geburtsphase 2 nach Lange et al.
Bedeutung	Die zweite Geburtsphase beginnt mit der Erweiterung des Muttermundes durch die Fruchtblase und endet mit der Austreibung des Fötus Lange et al. (2017)
Synonyme	
Oberbegriff	
Unterbegriffe	
Abgrenzung, Gültigkeit	Medizin
Eigenschaften	
Querverweise	

Tabelle 14: Glossareintrag zu Geburtsphase 2 nach Lange et al.

Begriff	Hyperplasie
Bedeutung	Vergrößerung eines Gewebes oder Organs durch vermehrte Zellteilung und eine damit verbundene außerordentliche Erhöhung der Zellanzahl
Synonyme	
Oberbegriff	
Unterbegriffe	
Abgrenzung, Gültigkeit	Medizin
Eigenschaften	
Querverweise	

Tabelle 15: Glossareintrag zu Hyperplasie

Begriff	Plazenta-Retention
Bedeutung	
Synonyme	
Oberbegriff	
Unterbegriffe	
Abgrenzung, Gültigkeit	Medizin
Eigenschaften	
Querverweise	

Tabelle 16: Glossareintrag zu Plazenta-Retention

Begriff	Allantochorions
Bedeutung	
Synonyme	
Oberbegriff	
Unterbegriffe	
Abgrenzung, Gültigkeit	
Eigenschaften	
Querverweise	

Tabelle 17: Glossareintrag zu Allantochorions

Begriff	Hypothalamus-Hypophysen-Nebennierenrinden-Achse
Bedeutung	
Synonyme	
Oberbegriff	
Unterbegriffe	
Abgrenzung, Gültigkeit	Medizin
Eigenschaften	
Querverweise	

Tabelle 18: Glossareintrag zu Hypothalamus-Hypophysen-Nebennierenrinden- Achse

2 Dokumentation zum entwickelten System

2.1 Computer für Entwicklung

2.1.1 Basisinformationen

Begriff	Spezifikation
Modell	Mac mini (Late 2014)
Betriebssystem	macOS Catalina Version 10.15.3
Prozessor	2.6 GHz Dual-Core Intel Core i5
Speicher	8 GB 1600 MHz DDR3
Grafikkarte	Intel Iris 1536 MB
Seriennummer	C07QG49TG1HW

Tabelle 19: Basisinformationen zum Computer Entwicklung

2.2 Eingesetzte Software

Nachfolgend wird die wertschöpfende Software mit dem entsprechenden Verwendungszweck und der eingesetzten Version genannt.

Software	Verwendungszweck	Version
Python	Programmiersprache für Housekeeping und Auslösung der spezifischen Aktionen ausgehend vom Erreichen oder Nichterreichen der merkmalsbezogenen Schwellwertes	3.7.4
OpenCV	Programmbibliothek mit Algorithmen für die Bildverarbeitung und maschinelles Sehen	4.2.0

Tabelle 20: Eingesetzte Software Entwicklung

2.3 Installation von OpenCV und vorausgesetzten Softwaremodulen

2.3.1 Xcode installieren und Lizenzvereinbarung akzeptieren

- Im App Store anmelden und Xcode herunterladen
- `sudo xcodebuild -license`

- sudo xcode-select -install

2.3.2 Apple Command Line Tools installieren

- sudo xcode-select -install

2.3.3 Homebrew installieren und Bash Profil anpassen

- /usr/bin/ruby -e "\$(curl -fsSL https://raw.githubusercontent.com/Homebrew/install/master/install)"
- brew update
- echo "# Homebrew">>> ~/.bash_profile
- echo "export PATH=/usr/local/bin:\$PATH"» ~/.bash_profile

2.3.4 Pakete installieren

- brew install cmake pkg-config
- brew install qt5
- brew install wget

2.3.5 Konfiguration und Ordnerstruktur vorbereiten

- QT5PATH=/usr/local/Cellar/qt/5.14.1
- cwd=\$(pwd)
- cvVersion="master"
- rm -rf opencv/build
- rm -rf opencv_contrib/build
- mkdir installation
- mkdir installation/OpenCV-"\$cvVersion"

2.3.6 Python Pakete installieren und virtuelle Umgebung einrichten

- sudo -H pip3 install -U pip numpy
- sudo -H python3 -m pip install virtualenv virtualenvwrapper
- VIRTUALENVWRAPPER_PYTHON=/usr/local/bin/python3
- echo "VIRTUALENVWRAPPER_PYTHON=/usr/local/bin/python3">>> /.bash_profile
- echo "# Virtual Environment Wrapper">>> /.bash_profile
- echo "source /usr/local/bin/virtualenvwrapper.sh">>> /.bash_profile
- mkvirtualenv OpenCV-"\$cvVersion"-py3 -p python3
- workon OpenCV-"\$cvVersion"-py3s
- pip install cmake numpy scipy matplotlib scikit-image scikit-learn ipython dlib
- deactivate

2.3.7 GitHub Repositories klonen

- git clone https://github.com/opencv/opencv.git
- cd opencv
- git checkout master
- cd ..
- git clone https://github.com/opencv/opencv_contrib.git
- cd opencv_contrib
- git checkout master
- cd ..
- cd opencv
- mkdir build
- cd build

2.3.8 Build erstellen

```
cmake -D CMAKE_BUILD_TYPE=RELEASE \
-D CMAKE_INSTALL_PREFIX=$cwd/installation/OpenCV-"$cvVersion" \
-D INSTALL_C_EXAMPLES=OFF \
-D INSTALL_PYTHON_EXAMPLES=ON \
-D WITH_TBB=ON \
-D WITH_V4L=ON \
-D OPENCV_SKIP_PYTHON_LOADER=ON \
-D CMAKE_PREFIX_PATH=$QT5PATH \
-D CMAKE_MODULE_PATH="$QT5PATH"/lib/cmake \
-D OPENCV_PYTHON3_INSTALL_PATH=~/.virtualenvs/OpenCV-"$cvVersion"-py3/lib/python \
\
-D WITH_QT=ON \
-D WITH_OPENGL=ON \
-D OPENCV_EXTRA_MODULES_PATH=../../opencv_contrib/modules \
-D BUILD_EXAMPLES=ON
```

2.3.9 OpenCV 4 komplizieren

- make -j\$(sysctl -n hw.physicalcpu)
- make install
- cd \$cwd

2.3.10 Spyder für die Benutzung mit der virtuellen Umgebung einrichten

- workon OpenCV-master-py3
- pip install spyder-kernels==0.*
- python -c "import sys; print(sys.executable)":
- Die Ausgabe dieses Befehls in den Zwischenspeicher kopieren.
- Spyder öffnen und in den Voreinstellungen den Menupunkt "Python-Interpreter" wählen.

- Den Inhalt aus dem Zwischenspeicher als Pfad zum Python-Interpreter verwenden.

2.4 Nützliche Links

Stichwort	URL
Informationen zu OpenCV	opencv.org
OpenCV-Python Tutorials und Dokumentation	opencv-python-tutroals.readthedocs.io/en/latest

Tabelle 21: Nützliche Links

3 Mindmap als Entwurf für Modellierung der Domäne

86

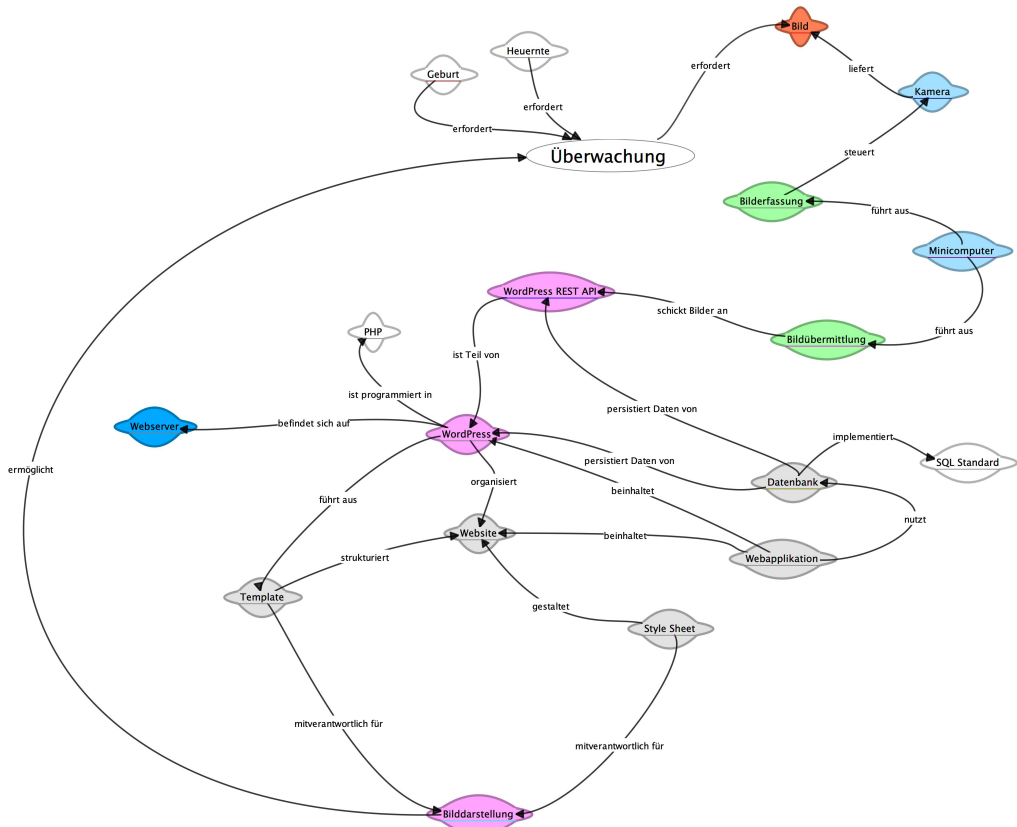


Abbildung 48: Mindmap als Entwurf für die Modellierung der Domäne. Farbcodierung gemäss Tabelle